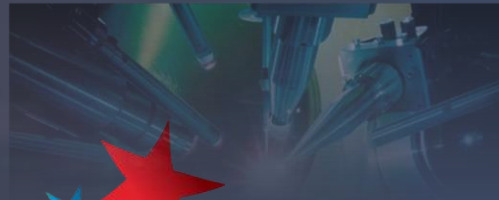
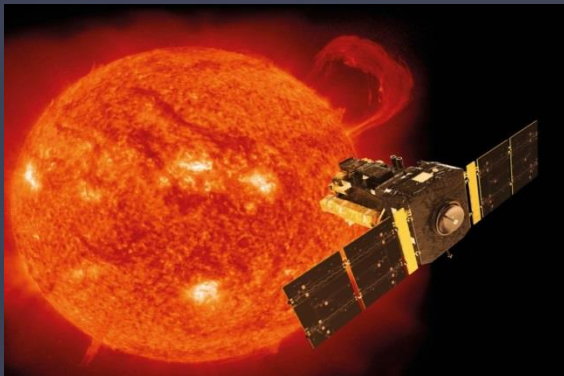


# Miniaturiser l'Univers en laboratoire

É. Falize  
Astrophysicien au CEA



Festival  
d'**astronomie**  
de Fleurance



Ferme des étoiles





Existence d'une Invariance d'échelle



Pas d'invariance d'échelle



*Les lois de la nature sont faites de telles sorte  
que l'on puisse construire des univers miniatures*  
R. Tolman (1914)



Univers  
miniature ?

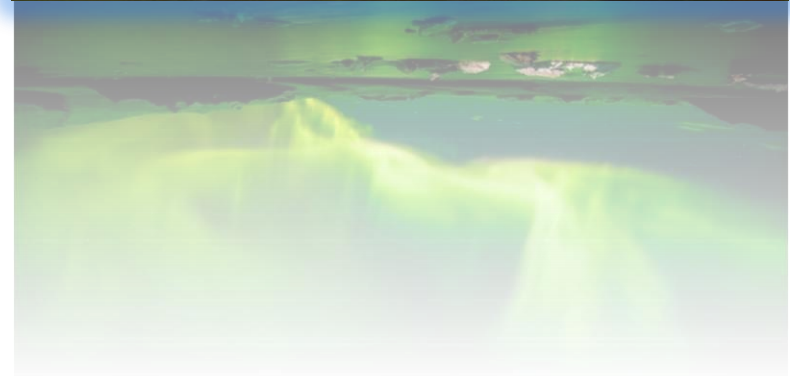
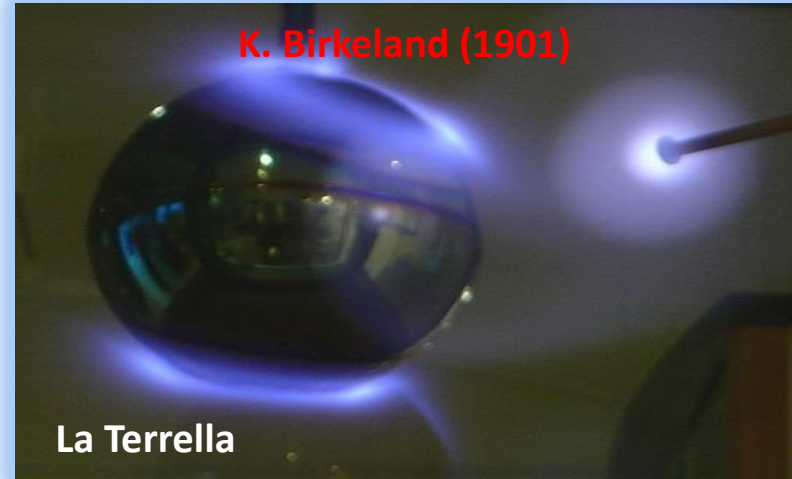


# Les expériences dynamiques d'astrophysique

## L'âge de la Terre

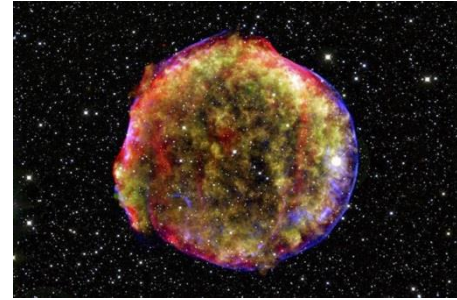


## L'origine des aurores boréales



# Pourquoi une astrophysique expérimentale ?

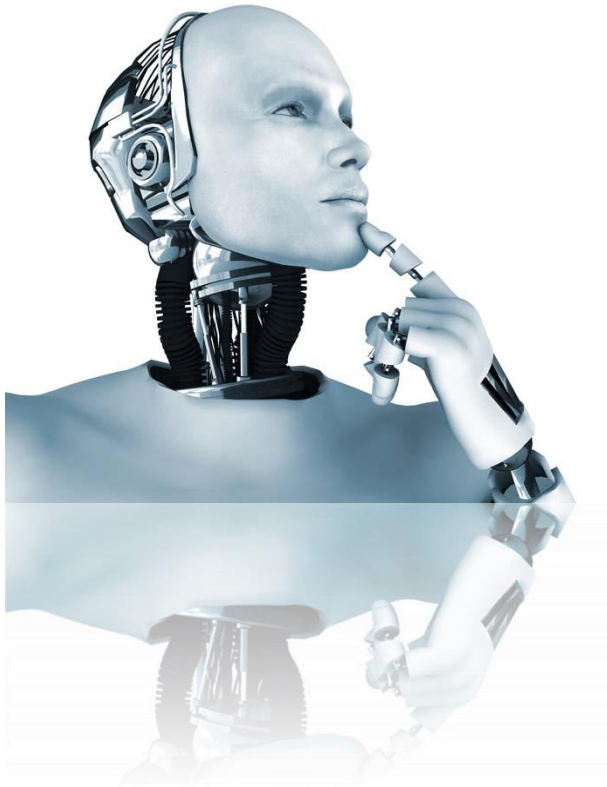
- Mieux comprendre la physique extrême et valider nos théories par l'expérience



- Obtenir des quantités physiques complémentaires, voire inaccessibles, avec les télescopes



- Valider et compléter les simulations numériques





# L'astrophysique expérimentale : un cabinet de curiosités

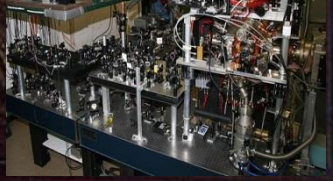
Les lasers  
de puissance



Le LHC



Laser condensats  
de Bose-Einstein



Les Z pinches



Terrella

Les sphéromaks



accélérateurs



Les tokamaks



D. Remps (1690)

É. Falize

28<sup>ème</sup> Festival de Fleurance – aout 2018



# La classification de l'astrophysique de laboratoire

Expériences statiques

Expériences dynamiques

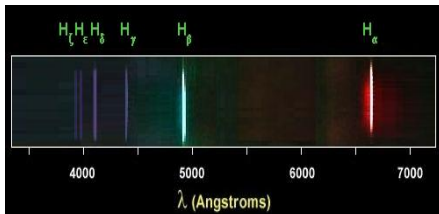
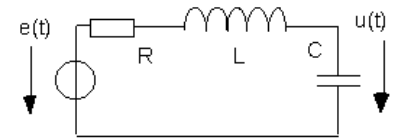
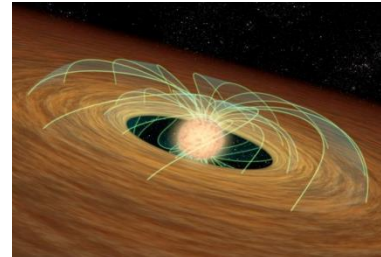
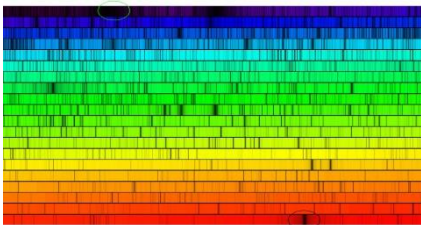
Classification d'Aristote

Identité

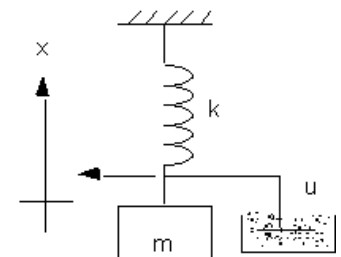
Similitude

Ressemblance

Analogie



Descriptions mécaniques:



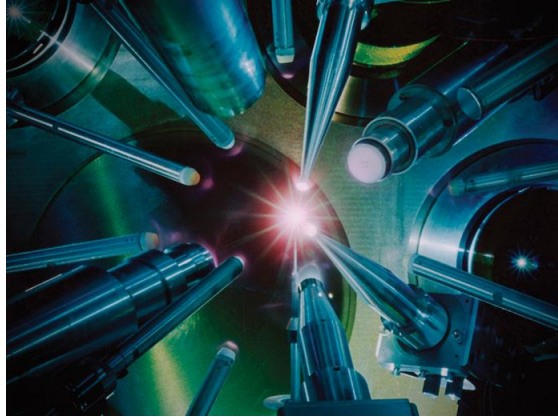


# Trois grandes classes de lasers de puissance

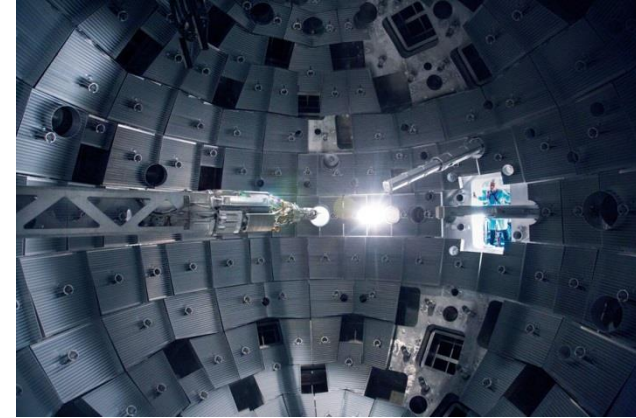
Les lasers kJ



Les lasers multi-kJ



Les lasers Mégajoule



Capacité à concentrer de l'énergie dans  
des **volumes millimétriques** pendant **des laps de temps très courts (~ 1ns)**

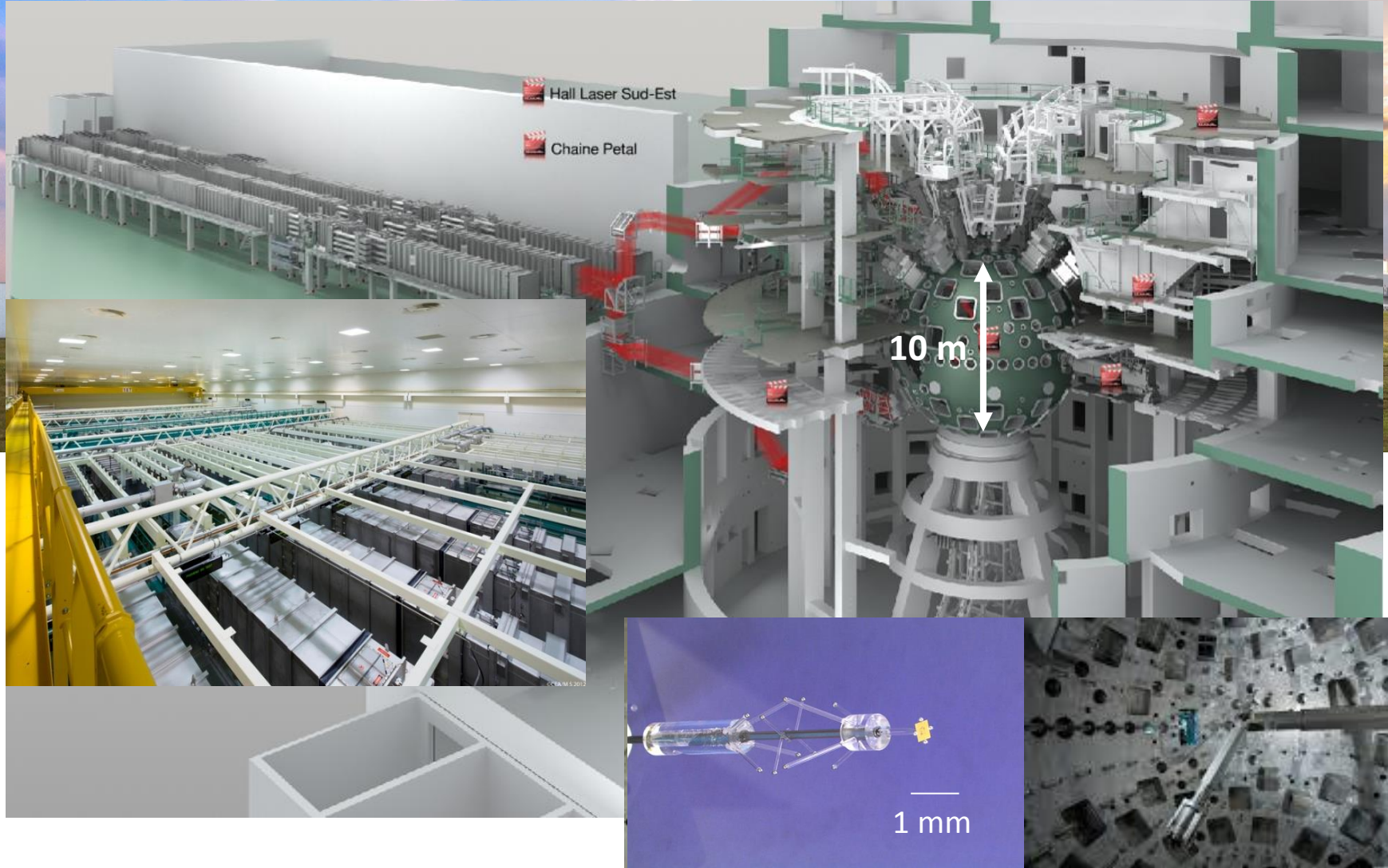
$$I_L = \frac{P_L}{\Sigma} = \frac{E_L}{\tau \Sigma} \quad p_a = 12 \left[ \frac{I_L}{10^{14} \text{W.cm}^{-2}} \right]^{2/3} \left[ \frac{\lambda_L}{1 \mu\text{m}} \right]^{-2/3} \text{ Mbars}$$

Possibilité de soumettre la matière à des conditions extrêmes

**[Remington et al. (2006)]**

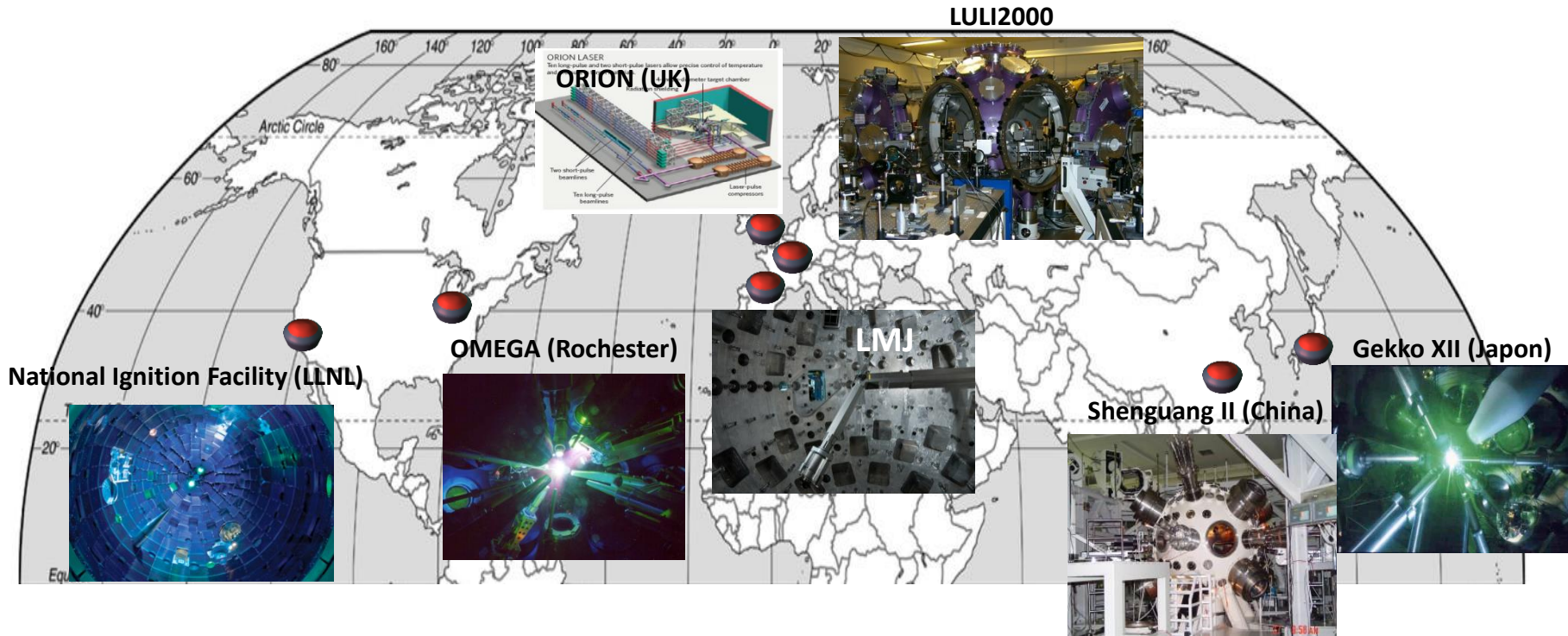
- de pression (plusieurs GBars)
- de température (de quelques eV à plusieurs keV)
- de vitesse (de quelques km/s à plus de 1000 km/s)

# Le laser Mégajoule

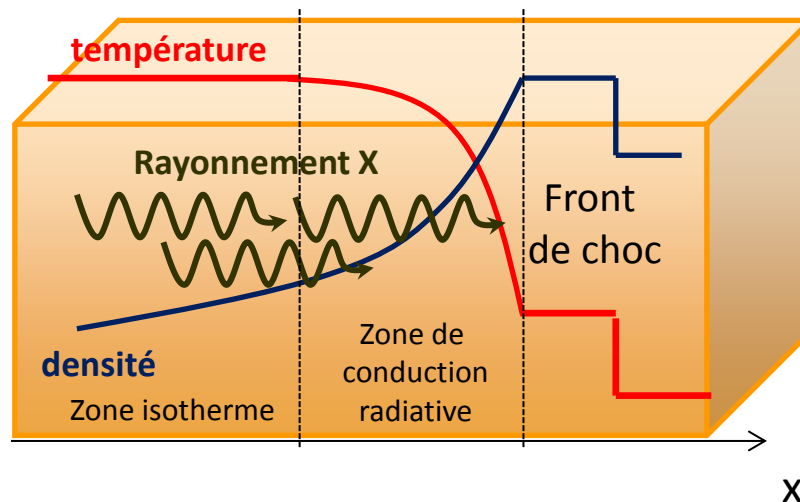
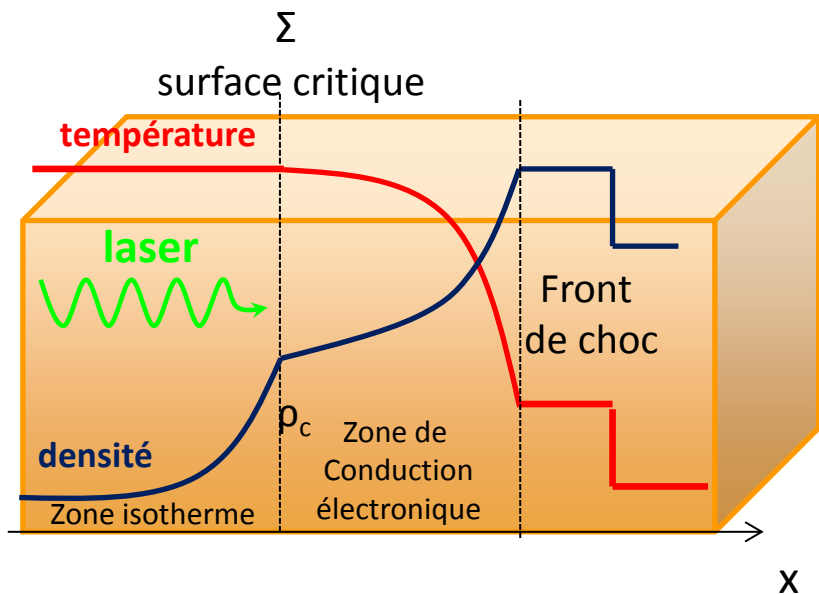
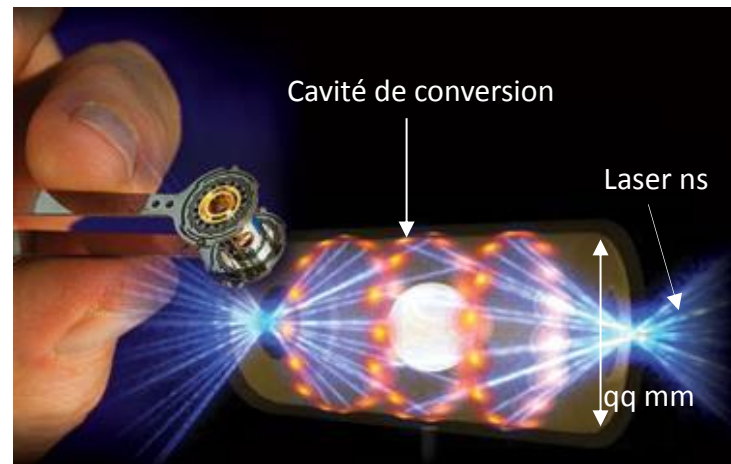
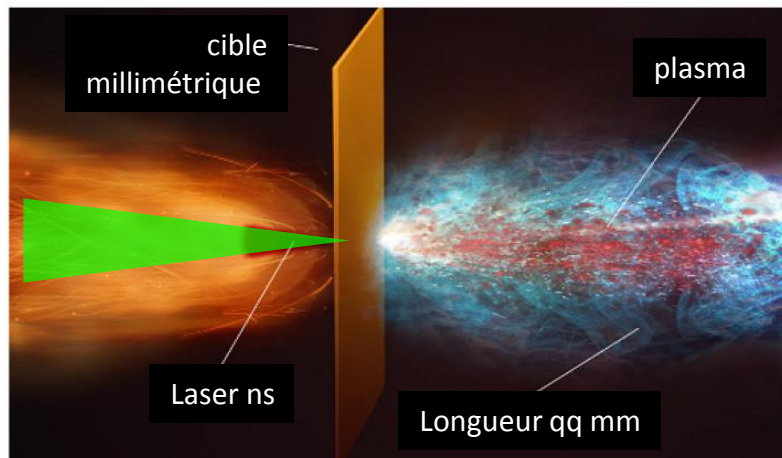




# Les lasers de puissance nanoseconde dans le monde



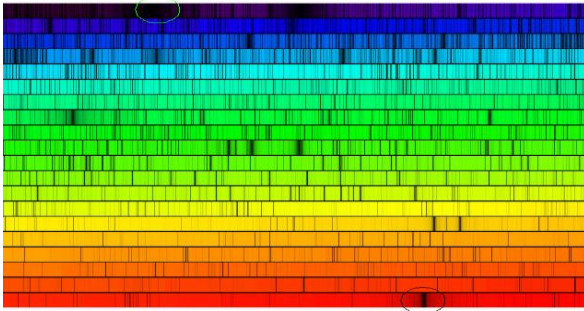
# Créer des conditions extrêmes avec les lasers de puissance



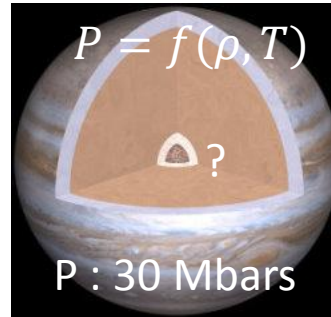


# L'astrophysique et les expériences : quelques exemples

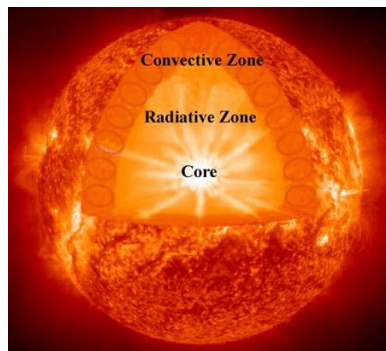
## Les données spectroscopiques



## Les équations d'état



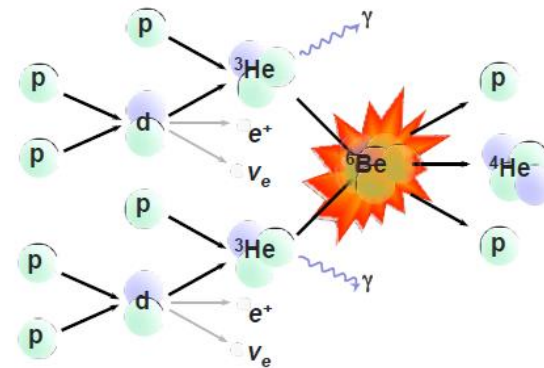
## Les opacités



Conditions de la base  
de la zone convective

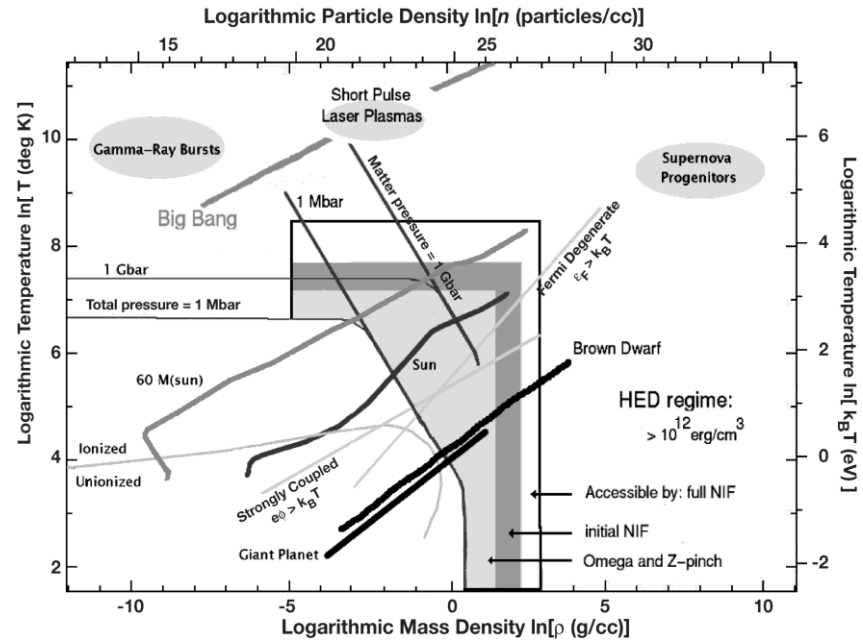
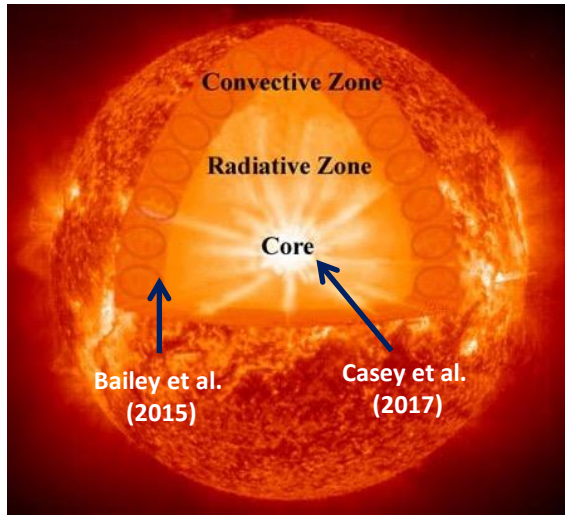
É. Falize

## Les sections efficaces nucléaires

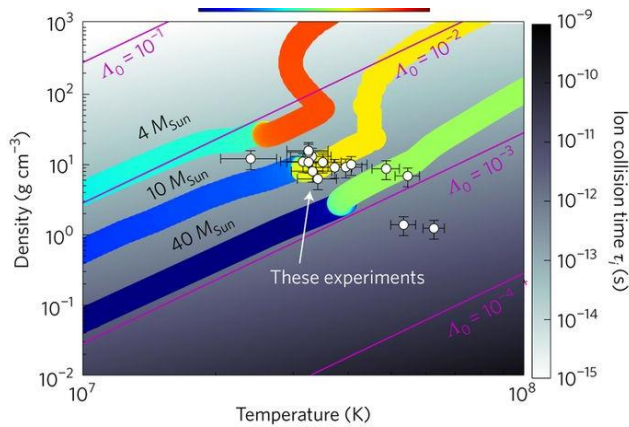


28<sup>ème</sup> Festival de Fleurance – aout 2018

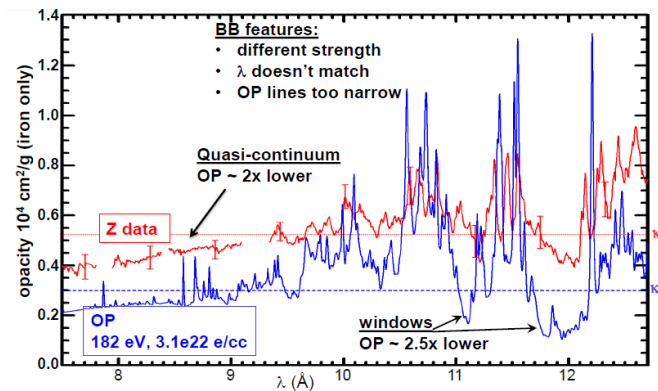
# Reproduire l'intérieur des étoiles



[Casey et al. Nature Phys. (2017)]



[Bailey et al. Nature (2015)]





# Le principe de similitude où comment passer des environnements astrophysiques aux plasmas de laboratoire

## Le théorème de Vaschy-Buckingham-Carvallo (1914)

$$F(x, t, V, \rho, P, \gamma) = 0 \longleftrightarrow F(St, M, \rho) = 0$$

Le nombre de Mach  $M = \frac{V}{c_s}$



$V = 5000 \text{ km/s}$	$St = \frac{V t}{L}$	$V = 100 \text{ km/s}$
$t = 3.15 \times 10^7 \text{ s}$	$\longleftrightarrow$	$t = 10 \times 10^{-9} \text{ s}$
$L = 1.57 \times 10^{11} \text{ km}$		$L = 1 \text{ mm}$

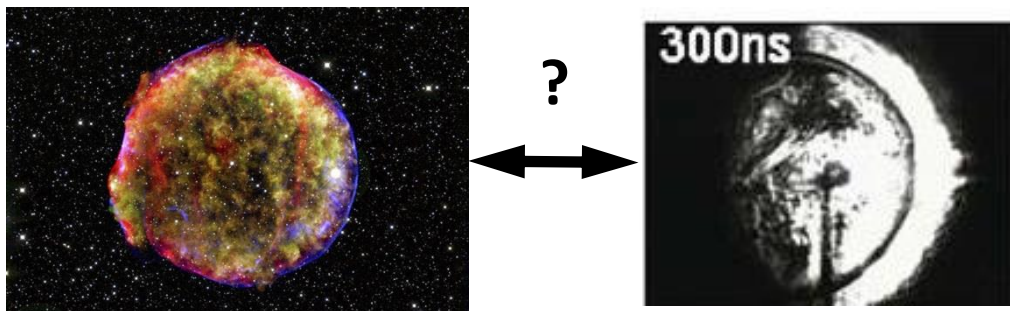
## Le principe de similitude de Tolman (1914)

*Les lois de la nature sont faites de telles sorte que l'on puisse construire des univers miniatures*

**R. Tolman (1914)**



# Le principe de similitude où comment passer des environnements astrophysiques aux plasmas de laboratoire

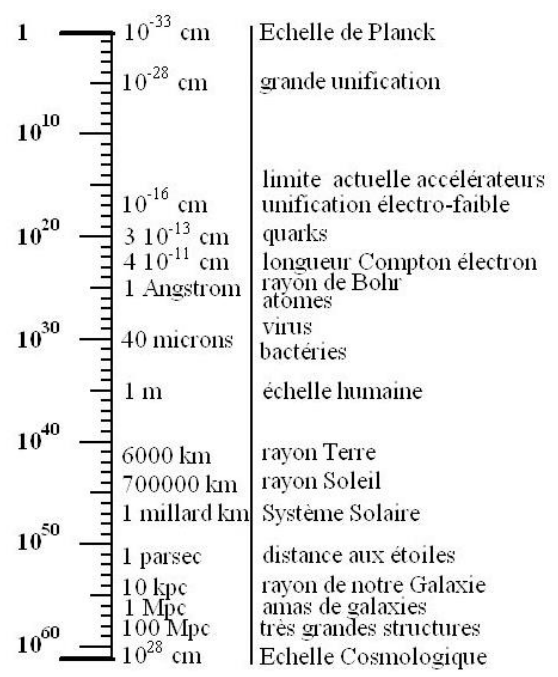


Existence d'une Invariance d'échelle

aux défauts d'échelle près ...



## Limite naturelle des lois de similitude

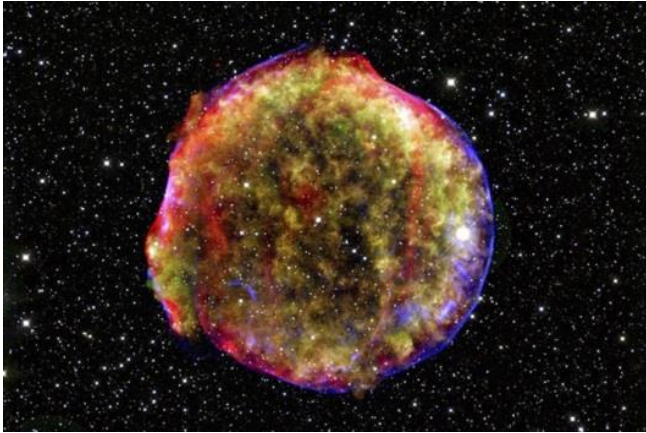


Pas d'invariance d'échelle





# Les nombres sans dimension et les lois d'échelle



$$\frac{\partial \rho}{\partial t} + \nabla \cdot [\rho \mathbf{V}] = 0 \quad \rho \left[ \frac{\partial}{\partial t} + (\mathbf{V} \cdot \nabla) \right] \mathbf{V} = -\nabla p$$

$$\frac{\partial}{\partial t} \left[ \frac{1}{2} \rho V^2 + \frac{p}{\gamma - 1} \right] + \nabla \cdot \left[ \mathbf{V} \left( \frac{1}{2} \rho V^2 + \frac{\gamma p}{\gamma - 1} \right) \right] = 0$$

$$L_{astro} = \mathbf{a} \times L_{labo}$$

$$t_{astro} = \mathbf{b} \times t_{labo}$$

$$V_{astro} = \mathbf{c} \times V_{labo}$$

$$\rho_{astro} = \mathbf{d} \times \rho_{labo}$$

$$p_{astro} = \mathbf{e} \times p_{labo}$$

$$\gamma_{astro} = \mathbf{f} \times \gamma_{labo}$$

$$\frac{\partial \rho}{\partial t} + \frac{\mathbf{cb}}{\mathbf{a}} \nabla \cdot [\rho \mathbf{V}] = 0 \quad \rho \left[ \frac{\mathbf{a}}{\mathbf{bc}} \frac{\partial}{\partial t} + (\mathbf{V} \cdot \nabla) \right] \mathbf{V} = -\frac{\mathbf{e}}{\mathbf{dc}^2} \nabla p$$

$$\frac{\partial}{\partial t} \left[ \frac{1}{2} \rho V^2 + \frac{\mathbf{e}}{\mathbf{dc}^2} \frac{p}{\mathbf{f}\gamma - 1} \right] + \frac{\mathbf{cb}}{\mathbf{a}} \nabla \cdot \left[ \mathbf{V} \left( \frac{1}{2} \rho V^2 + \frac{\mathbf{e}}{\mathbf{dc}^2} \frac{\mathbf{f}\gamma p}{\mathbf{f}\gamma - 1} \right) \right] = 0$$

$$\mathbf{c} = \sqrt{\frac{\mathbf{e}}{\mathbf{d}}}$$

$$V_{astro} = \sqrt{\frac{\mathbf{e}}{\mathbf{d}}} \times V_{labo}$$

$$\frac{\mathbf{cb}}{\mathbf{a}} = 1 \quad \frac{\mathbf{e}}{\mathbf{dc}^2} = 1 \quad \mathbf{f} = 1 \quad \mathbf{a}, \mathbf{d}, \mathbf{e} \text{ libres}$$

$$\mathbf{b} = \mathbf{a} \sqrt{\frac{\mathbf{d}}{\mathbf{e}}}$$

$$t_{astro} = \mathbf{a} \sqrt{\frac{\mathbf{d}}{\mathbf{e}}} \times t_{labo}$$

# Les nombres sans dimension et les lois d'échelle



$$L_{astro} = a \times L_{labo}$$

$$t_{astro} = b \times t_{labo}$$

$$V_{astro} = c \times V_{labo}$$

$$\rho_{astro} = d \times \rho_{labo}$$

$$p_{astro} = e \times p_{labo}$$

$$\gamma_{astro} = f \times \gamma_{labo}$$

$a, d, e$  libres

$$c = \sqrt{\frac{e}{d}}$$

$$b = a \sqrt{\frac{d}{e}}$$

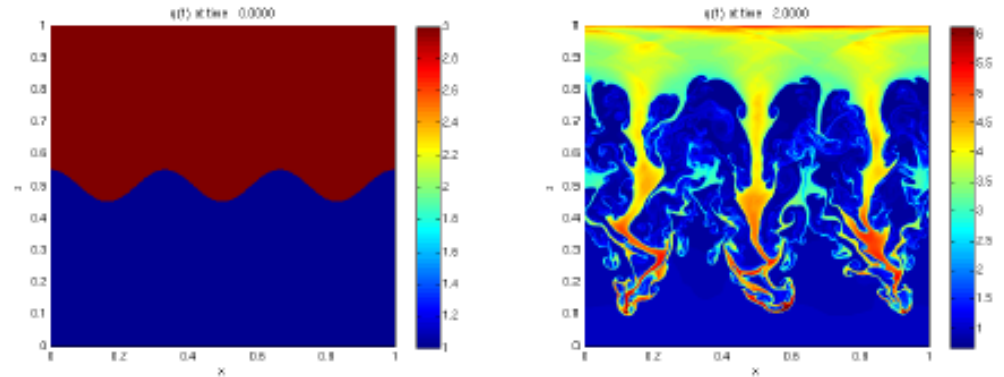
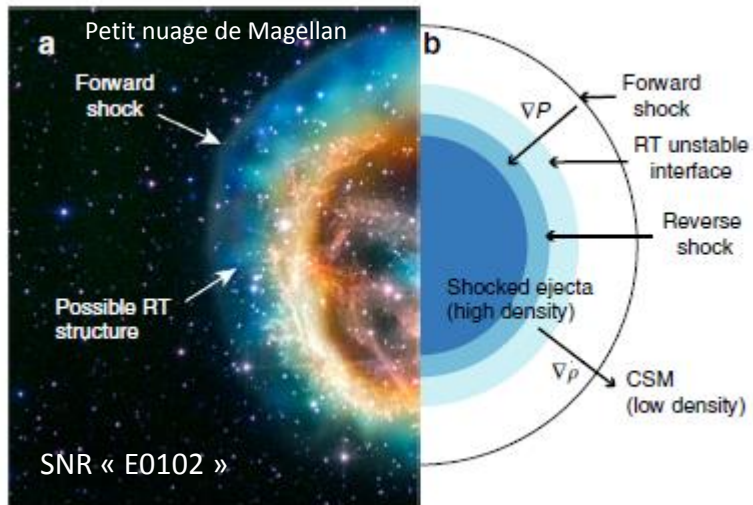
$$\frac{cb}{a} = 1 \longrightarrow \frac{V_{astro} t_{astro} L_{labo}}{V_{labo} t_{labo} L_{astro}} = 1 \quad \frac{t_{astro} V_{astro}}{L_{astro}} = \frac{t_{labo} V_{labo}}{L_{labo}} \quad \text{Le nombre de Strouhal}$$

$$\frac{e}{dc^2} = 1 \longrightarrow \frac{p_{astro}}{\rho_{astro} [V_{astro}]^2} = \frac{p_{labo}}{\rho_{labo} [V_{labo}]^2} \quad \text{Le nombre d'Euler}$$

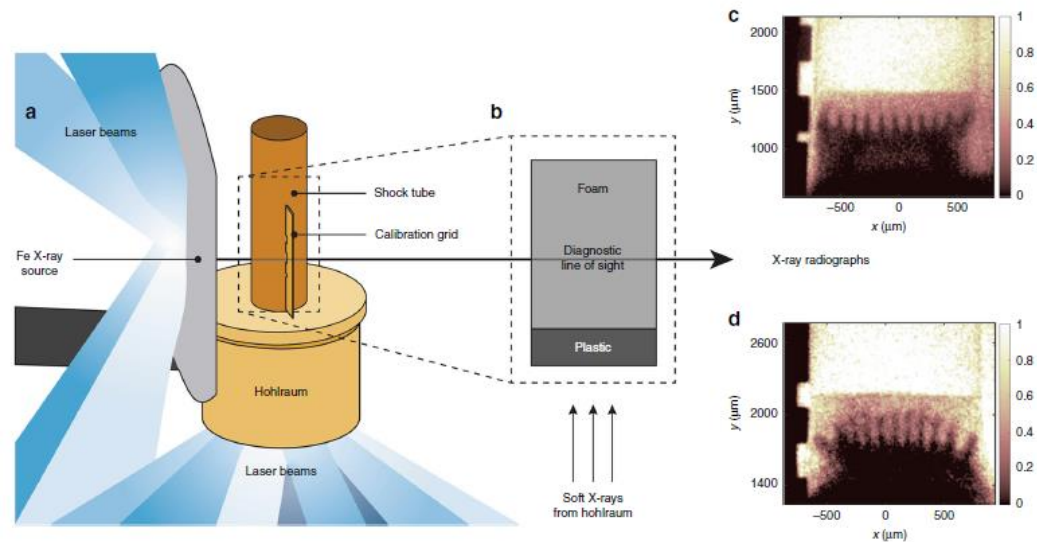
$$f = 1 \longrightarrow \frac{\gamma_{astro}}{\gamma_{labo}} = 1 \quad \gamma_{astro} = \gamma_{labo} \quad \text{Conservation Indice adiabatique}$$



# Les instabilités dans les restes de supernovae

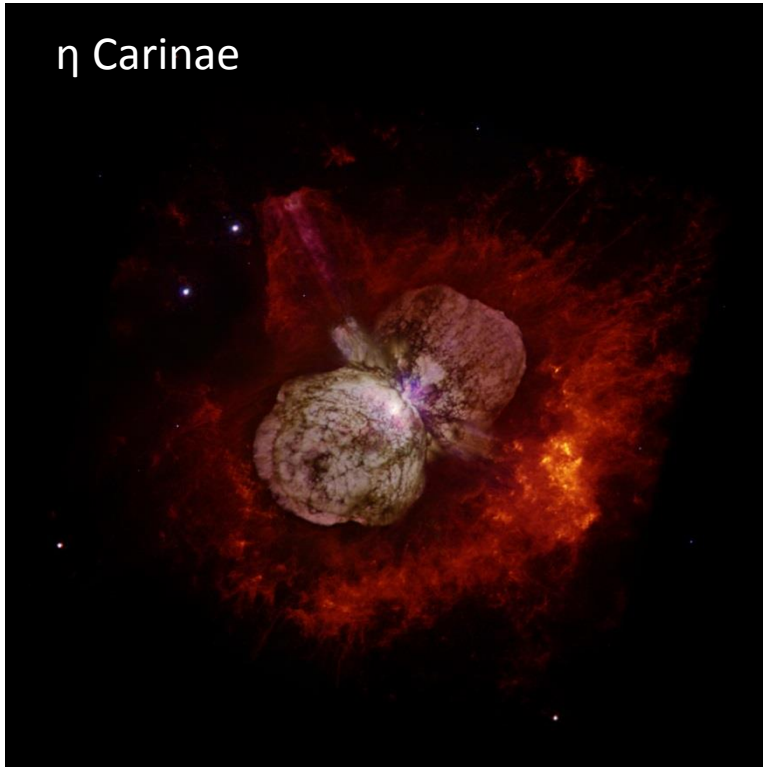


[Kuranz et al. Nature Comm. (2018)]

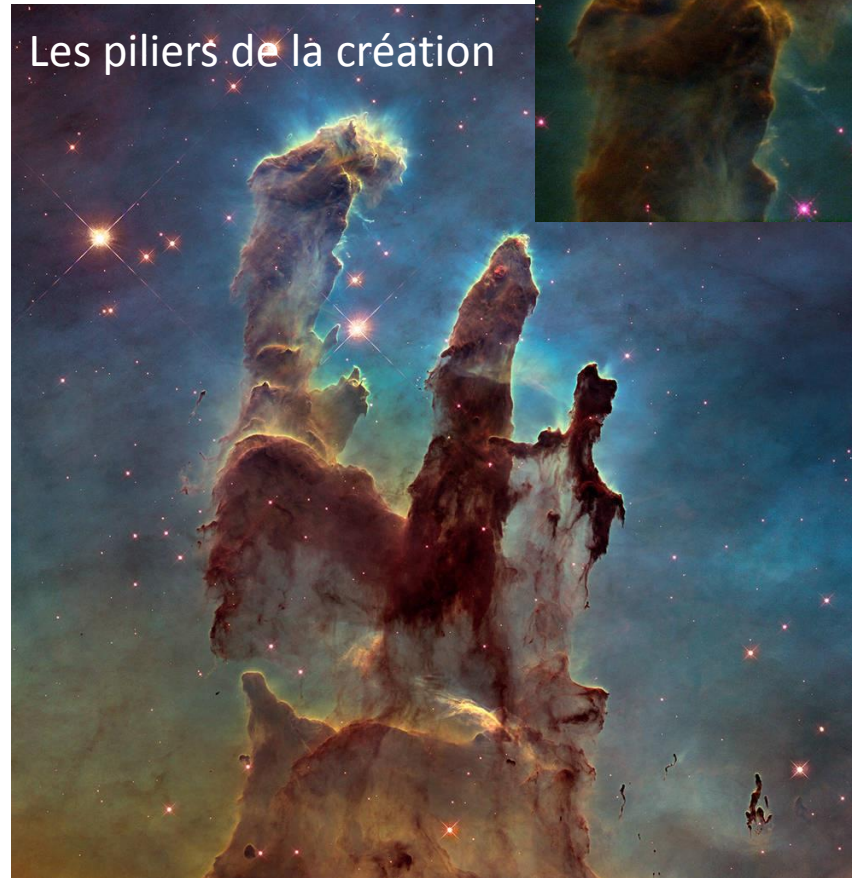


# Les phénomènes couplant rayonnement et matière

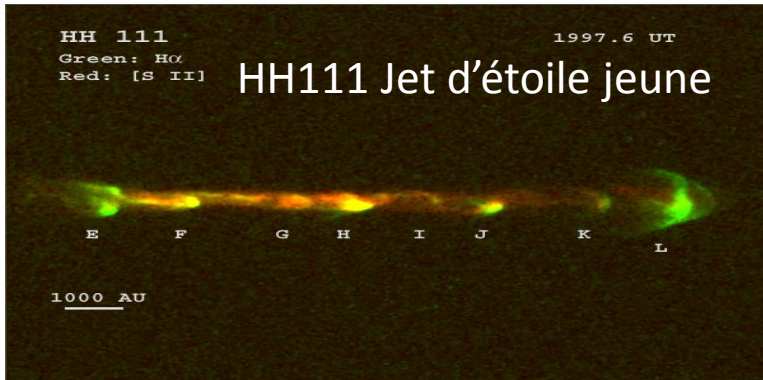
$\eta$  Carinae



Les piliers de la création



HH 111  
Green: H $\alpha$   
Red: [S III] HH111 Jet d'étoile jeune



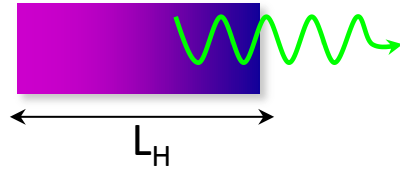


# Le rayonnement responsable de la masse limite des étoiles

▪ Le Knudsen radiatif :  $Kn_{rad} = \frac{\lambda_P}{L_H}$  Couplage rayonnement-matière

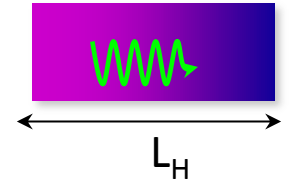
Cas optiquement mince :

$$Kn_{rad} = \frac{\lambda_P}{L_H} \gg 1$$



Cas optiquement épais :

$$Kn_{rad} = \frac{\lambda_P}{L_H} \ll 1$$



▪ Le Boltzmann :  $Bo = \frac{\rho h \nu}{F_{rad}} = \frac{\rho h \nu}{\sigma T^4}$

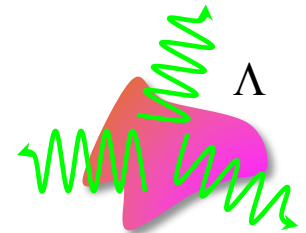
Efficacité du rayonnement à transporter l'énergie

▪ Le Mihalas :  $R = \frac{\rho e}{E_{rad}} = \frac{\rho e}{a_R T^4}$

Contenu énergétique

▪ Le paramètre de refroidissement :

$$\chi = \frac{t_R}{t_H} = \frac{1}{t_H} \frac{P}{(\gamma - 1)\Lambda}$$

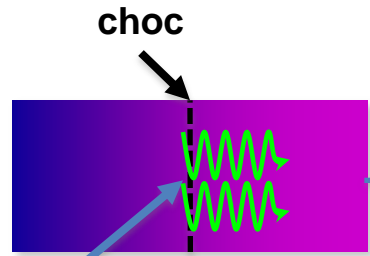


Effet des pertes radiatives sur la dynamique du plasma

Chaque régime est reproductible (théoriquement) en laboratoire !

# Les lasers de puissance permettent de faire de l'hydrodynamique radiative une science expérimentale

Hydrodynamique violente → émission et absorption de rayonnement



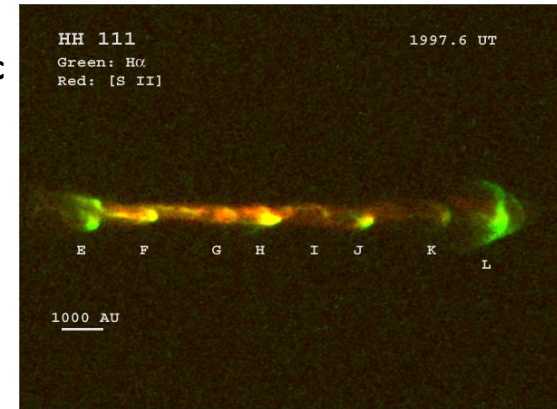
$$T_s [K] = 1.5 \times 10^5 \left[ \frac{v}{100 \text{ km/s}} \right]^2$$

$\tau \gg 1$   
 $\tau \ll 1$

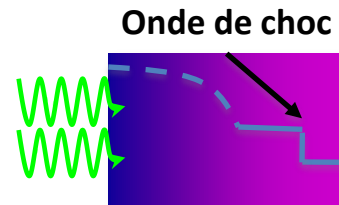
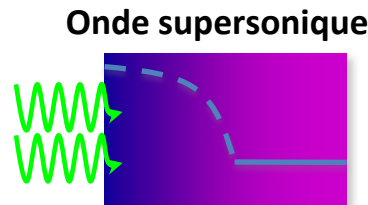
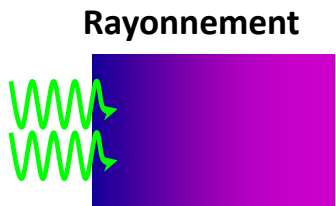
Structure complexe devant le choc  
formation d'un précurseur radiatif

épaisseur optique  $d\tau = \kappa \cdot ds$

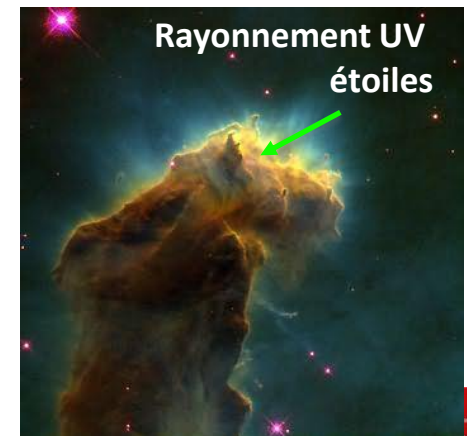
Émission de rayonnement = perte d'énergie



Absorption et émission de rayonnement → hydrodynamique



$$c_v \frac{\partial T}{\partial t} = \frac{\partial}{\partial x} \left[ \kappa \frac{\partial T}{\partial x} \right] \rightarrow h_s \approx h_{s,0} t^{1/2}$$





*Si Dumbledore avait un laser de puissance dans sa baguette, c'est un laser de puissance avec une énergie de 1 GJ*



LL Orionis

# Les chocs d'accrétion radiatifs

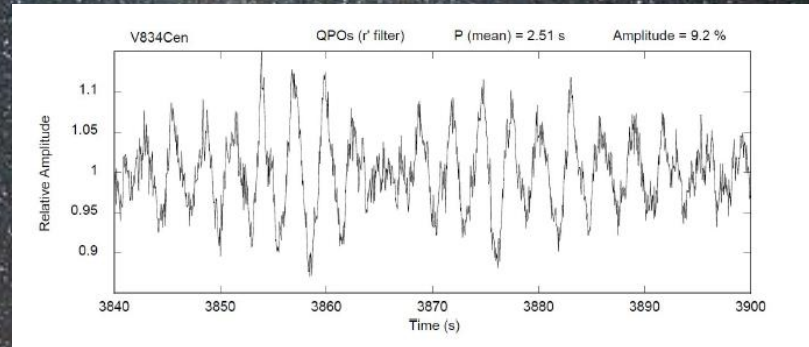
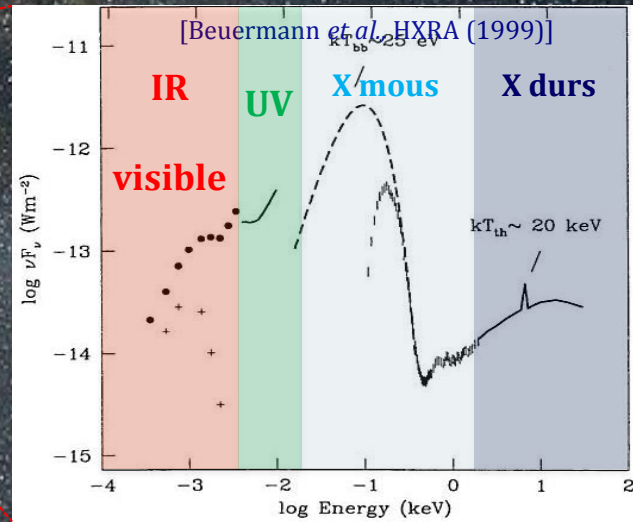
Dumbledore

Choc radiatif

Harry Potter

On ne prononce pas son nom ...





[Mouchet *et al.* Astron. Astrophys. (2017)]





# We visited the Helix Nebula!

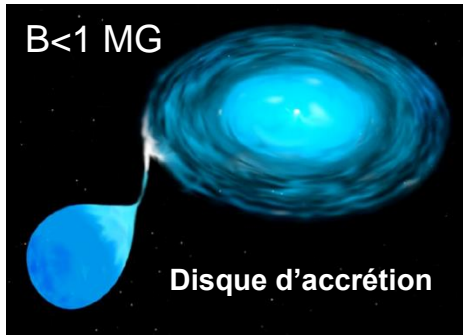
## Le groupe STARAcc



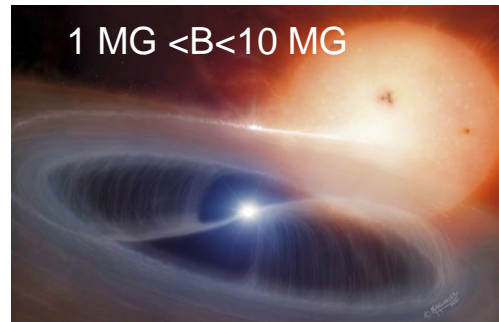


# Les variables cataclysmiques magnétiques : des sondes parfaites des processus d'accrétion dans un régime de hautes énergies

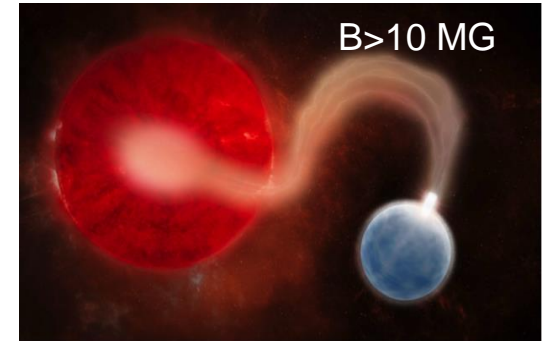
## Les VCs non magnétiques



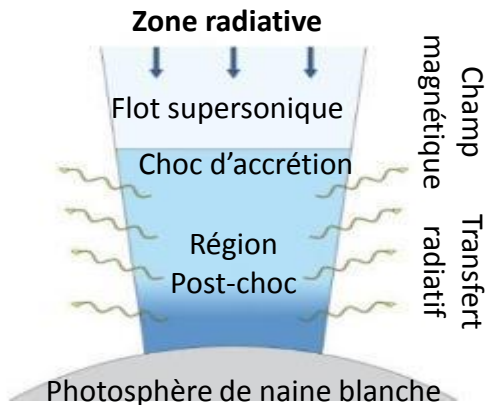
## Les polars intermédiaires



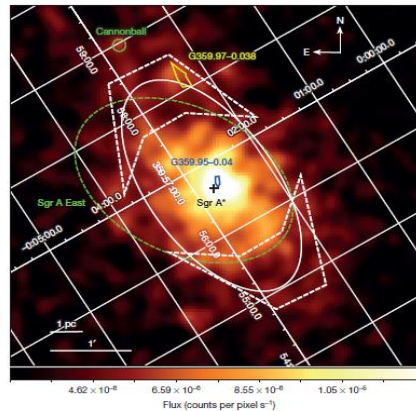
## Les polars



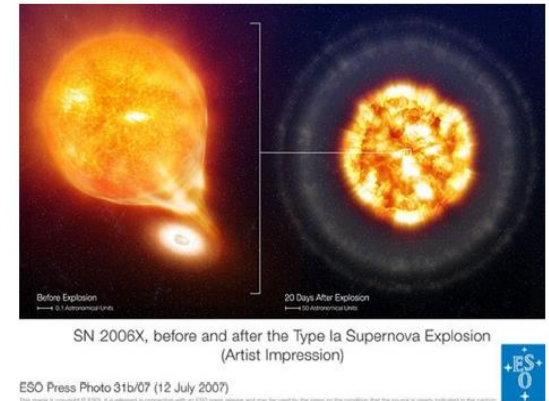
## Processus d'accrétion dans un régime de hautes énergies



## Population importante de sources X galactiques



## potentiels progéniteurs des supernovae de type Ia

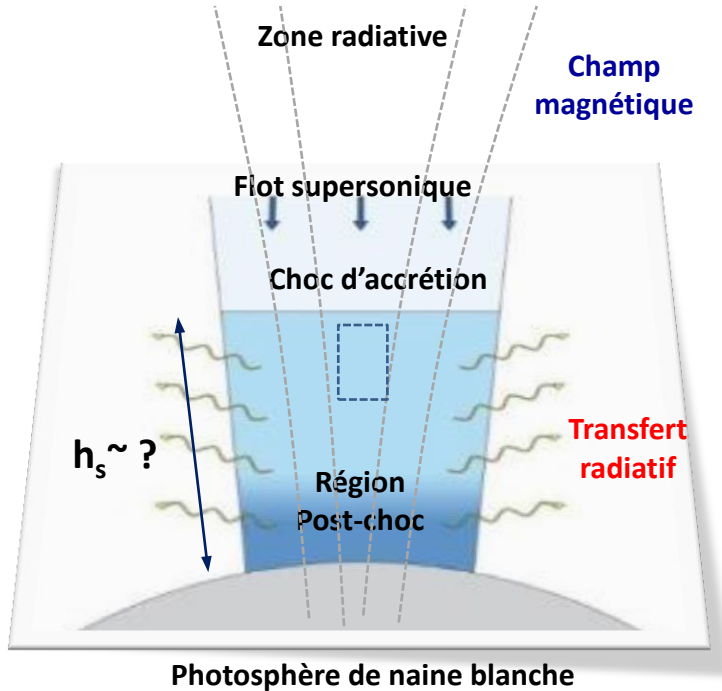


[Cropper et al. MNRAS (1990)],  
[Wu et al. APJ (1995)]

[Perez et al. Nature (2015)],  
[Revnitsev et al. Nature (2009)]

[Wheeler ApJ (2012)],  
[Maoz et al. ARAA (2014)]

# Reproduire l'accrétion dans les variables cataclysmiques magnétiques

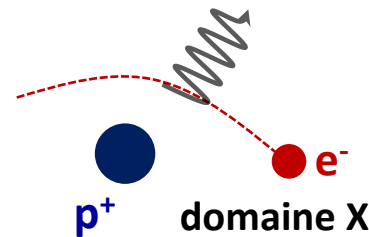


Formation d'une onde de choc

$$T_s \approx 10 \left[ \frac{V_f}{1000 \text{ km/s}} \right]^2 \text{ MK}$$

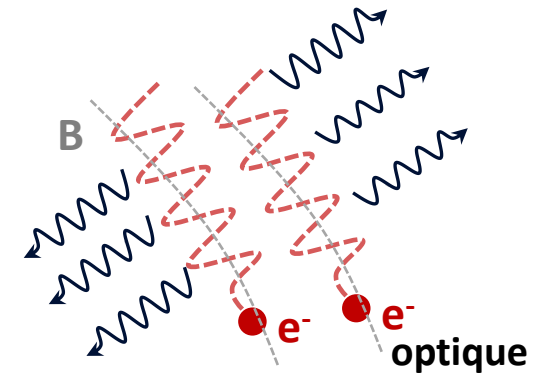
Les processus de rayonnement

Rayonnement de freinage



$$t_{brem} \sim 0.1 \text{ s} - 1 \text{ s}$$

Rayonnement cyclotron

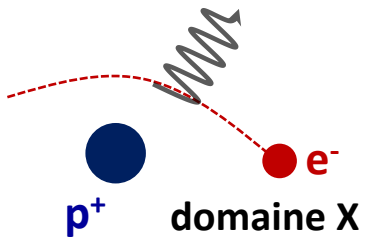


$$t_{cycl} \sim 0.1 \text{ s} - 1 \text{ min}$$



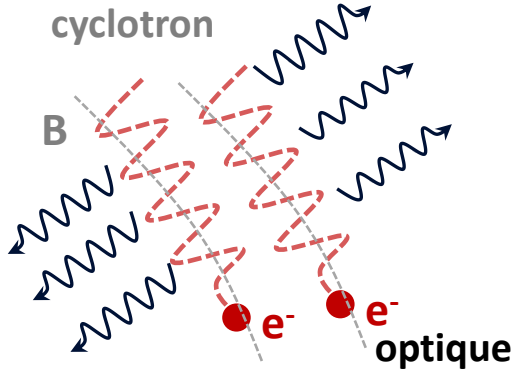
# Reproduire l'accrétion dans les variables cataclysmiques magnétiques

Bremsstrahlung



$t_{brem} \sim 0.1 \text{ s} - 1 \text{ s}$

cyclotron



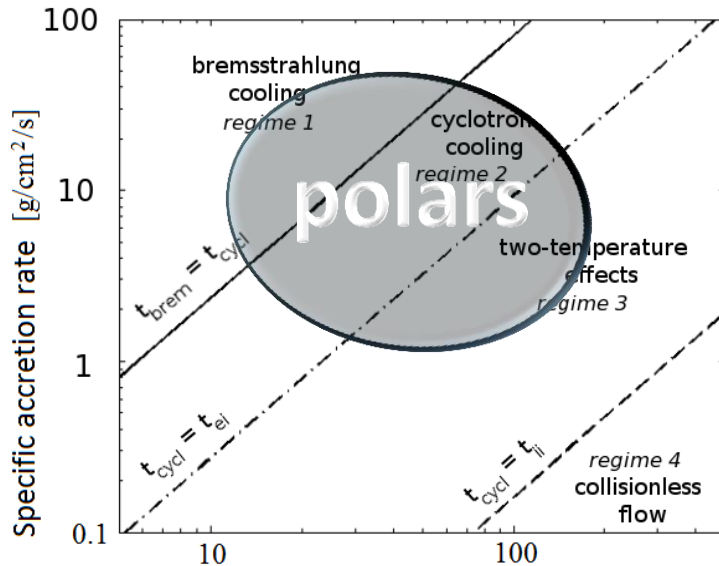
$t_{cycl} \sim 0.1 \text{ s} - 1 \text{ min}$

Altitude du choc

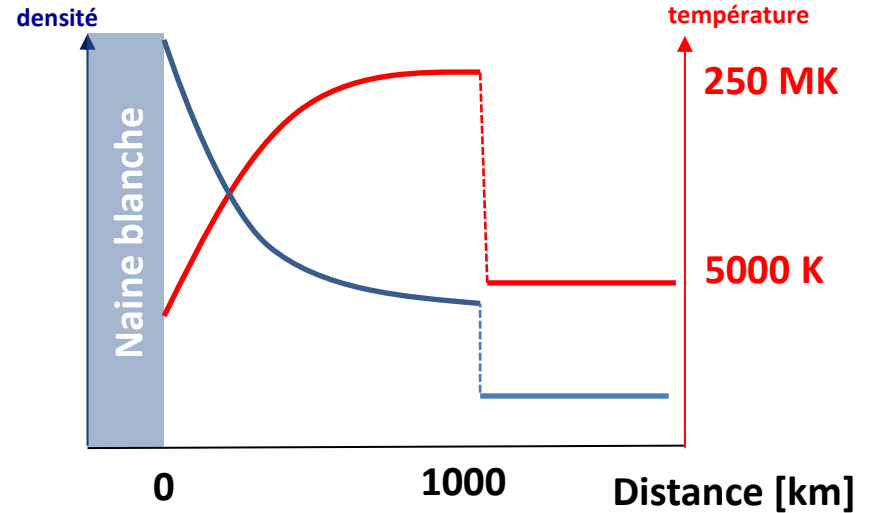
$$h_s \approx \frac{1}{4} V_f \times t_{ref}$$

$h_s \approx 100 - 1000 \text{ km}$

Inaccessible aux télescopes actuels



E. Falize

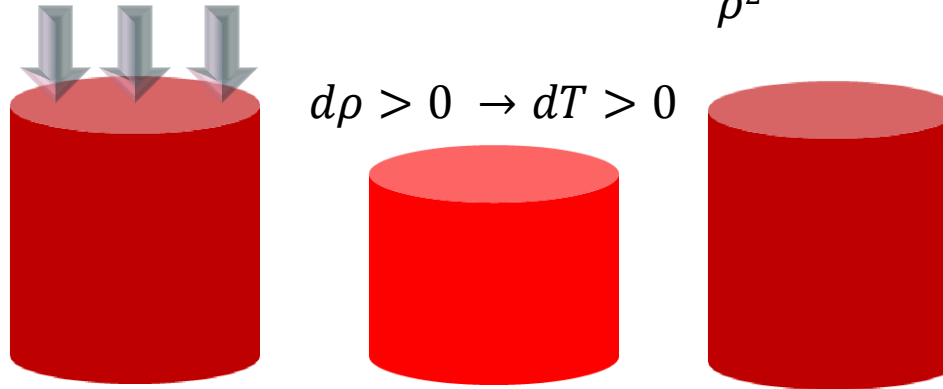


28<sup>eme</sup> Festival de Fleurance – aout 2018

# L'origine des oscillations de la courbe de lumière

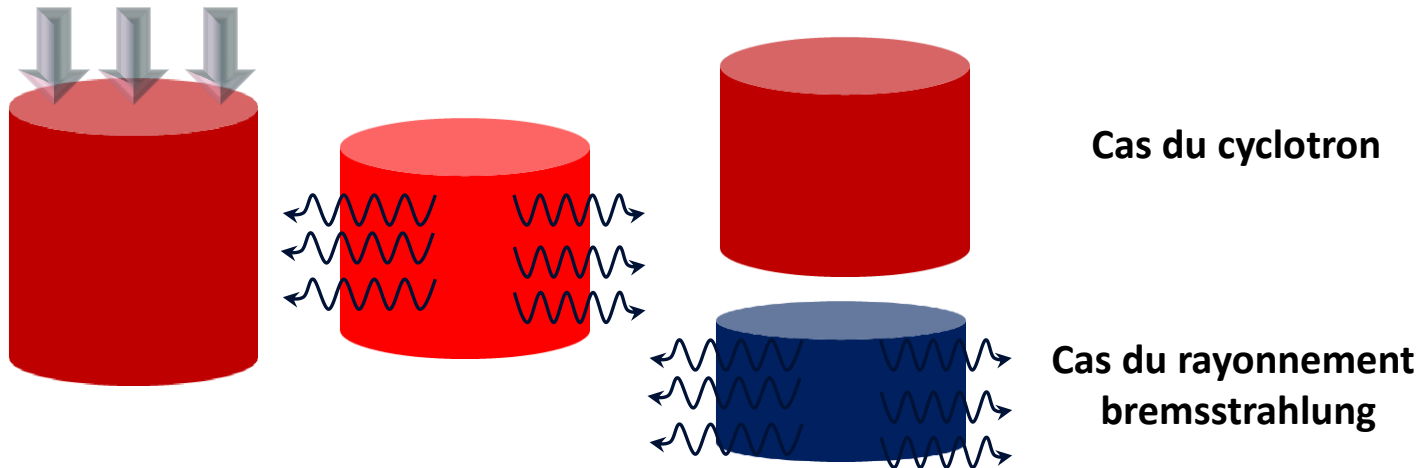
Cas adiabatique

$$de = -pdV \quad c_v dT = \frac{p}{\rho^2} d\rho$$



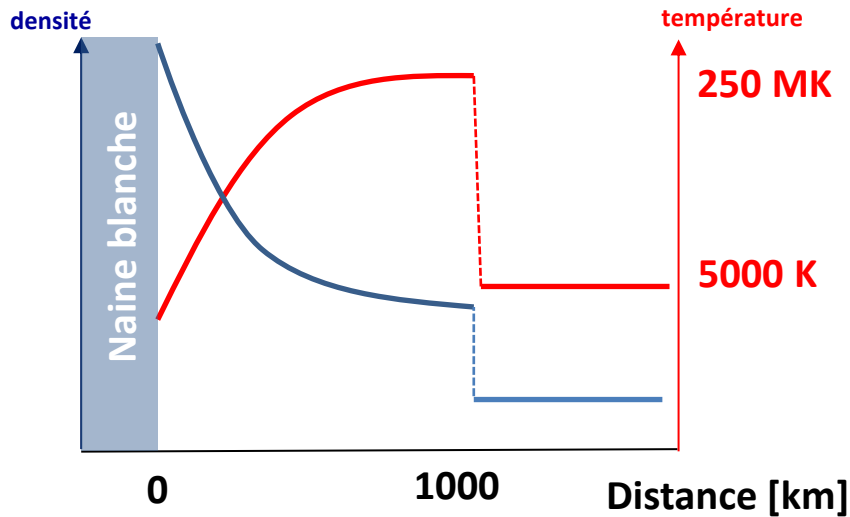
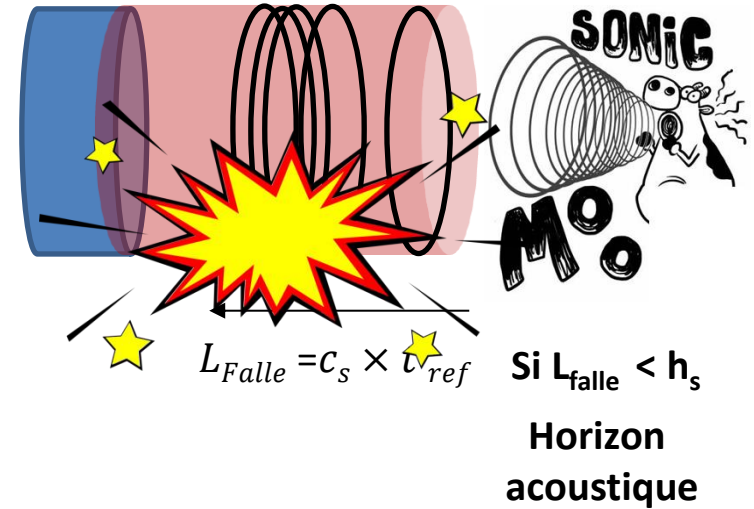
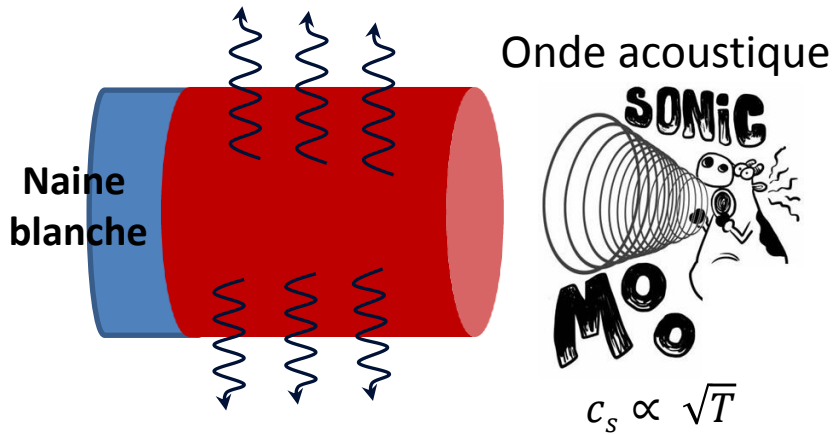
Cas radiatif

$$de = -pdV + \delta Q = -pdV - [\Lambda(\rho, T)/\rho] dt$$



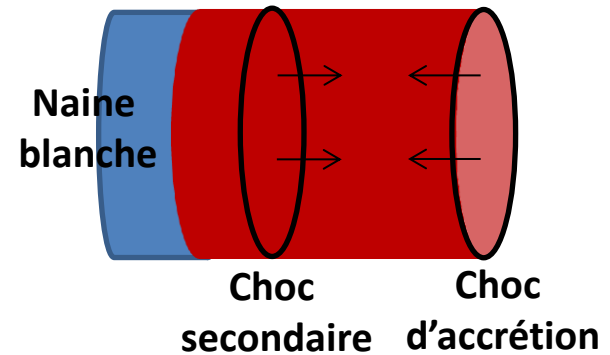
Instabilité  
de refroidissement

# L'origine des oscillations de la courbe de lumière



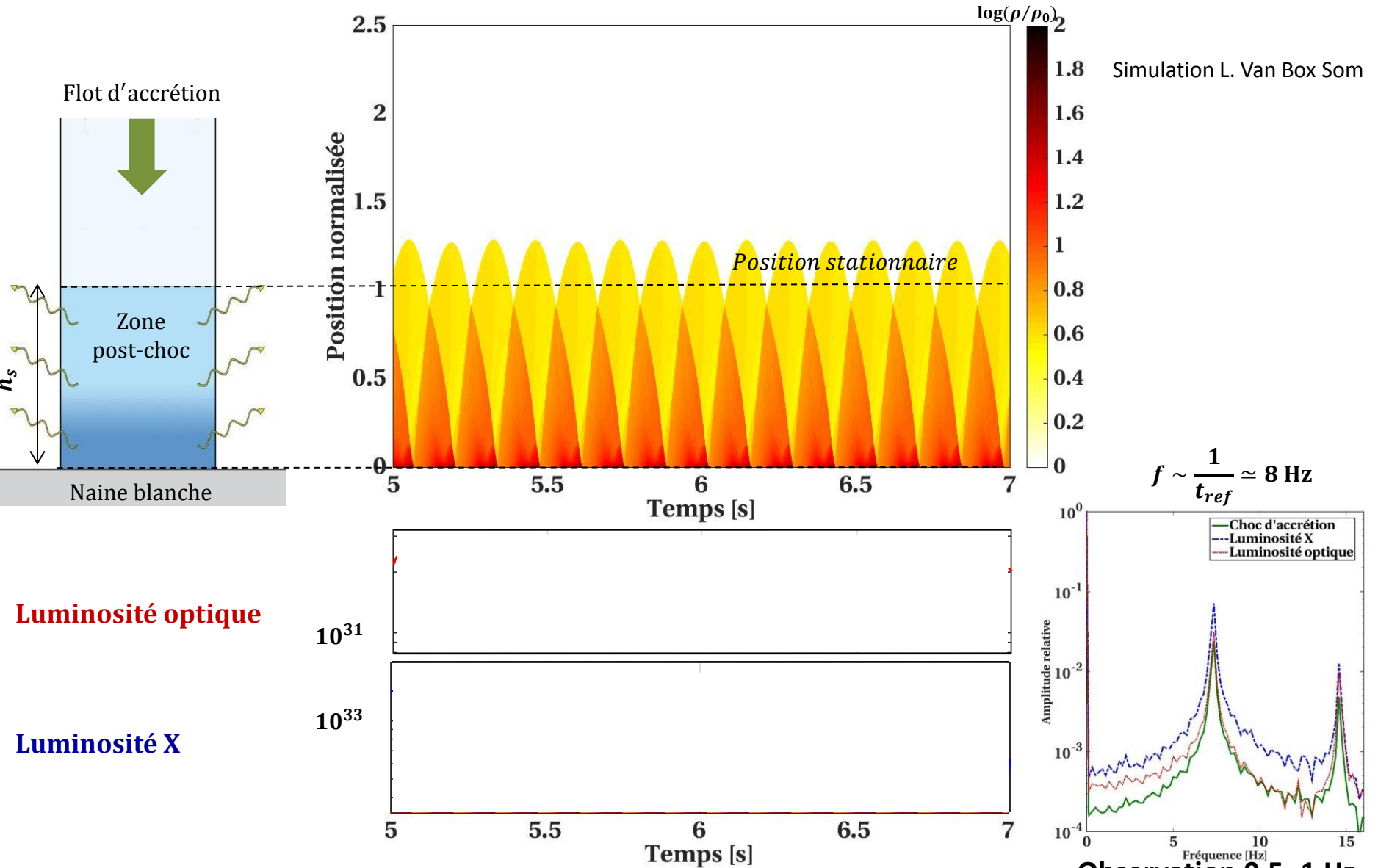
Le plasma redevient supersonique  
Création d'un choc secondaire !

Cas du rayonnement bremsstrahlung

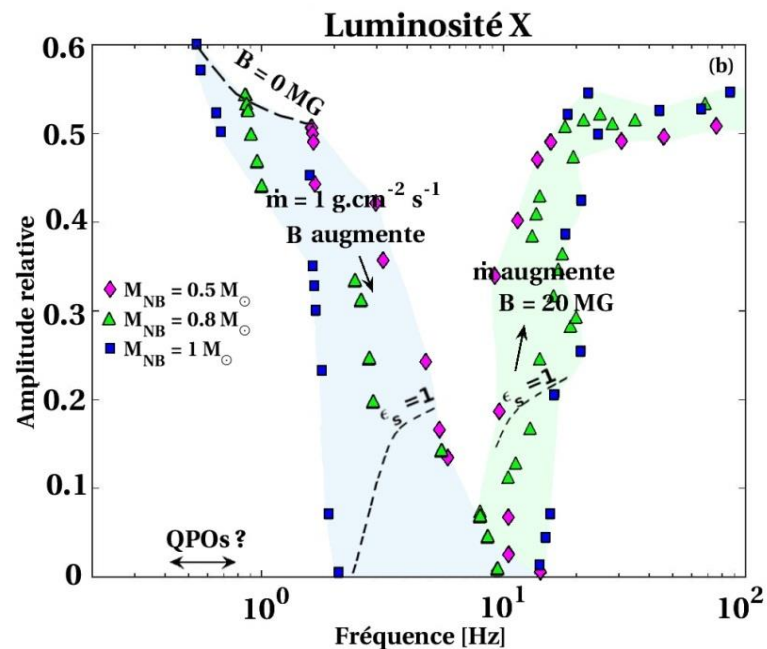
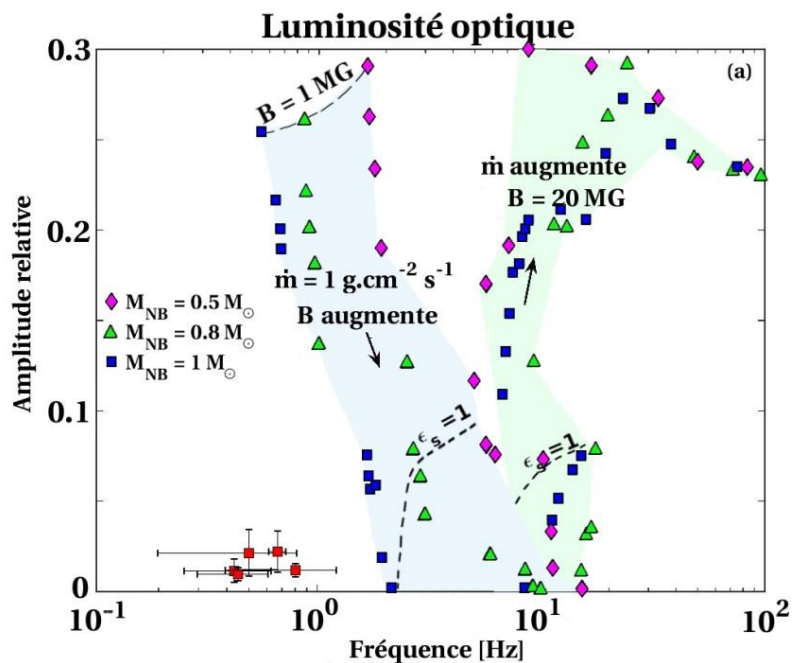




# Reproduire l'accrétion dans les variables cataclysmiques

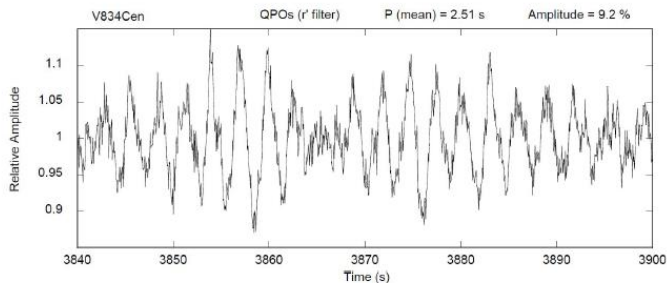


# Reproduire l'accrétion dans les variables cataclysmiques magnétiques

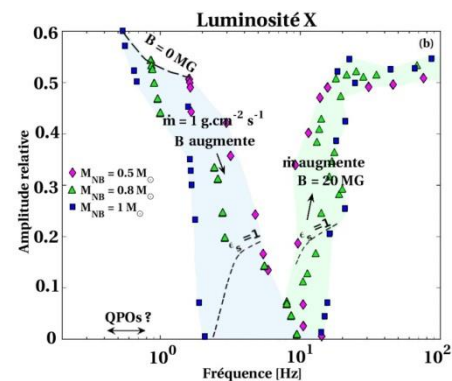


# Les variables cataclysmiques magnétiques

Origines des oscillations quasi-périodiques ?

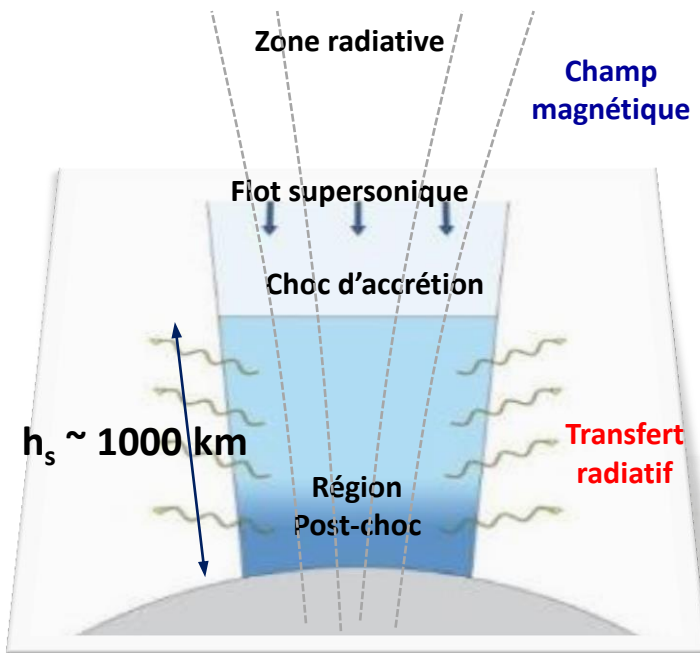


Pourquoi pas de QPO dans le domaine X ?





# Reproduire l'accrétion dans les variables cataclysmiques magnétiques



Photosphère de naine blanche

$$\tau_s = \sum_i (\tau_i, \alpha_i, \beta_i, \eta_i) \omega_s \times t_{cool}$$

$\sim \omega_s \times t_{cool} / 4$   
 Astro  $\omega_s \sim 1300 \text{ km}$

Labo  $\omega_s \sim 500 \text{ km/s}$   
 $t_{cool} \sim 10 \text{ ns}$

$\omega_s \sim 1250 \text{ } \mu\text{m} \sim 1 \text{ mm!}$

avec la valeur de  $\tau_s = f(z, F_s(\dots))$

$\rightarrow \tau_s \approx 1 \text{ mm}$

Application du scaling au ch  
1 fonction de cooling:  $\Lambda \sim \Lambda_0$

$r/\bar{r} = a^{3c-2b}$   
 2 par. litres  $\rho/\bar{\rho} = a^{5b}$

$\rho/\bar{\rho} = a^{3c}$

$n/\bar{n} = a^{(3c-5b)/2}$   
 $T/\bar{T} = a^{(3c-5b)}$

2 fonctions de cooling:  $\Lambda_1 = \Lambda_0 \rho^2 T^{1/2}$ ,  $\Lambda_2 \sim \rho^{0.8} T^{2.5}$

$r/\bar{r} = a^{-335/40}$

$t/\bar{t} = a^{-4325/80}$

1 par. litre.  $\rho/\bar{\rho} = a^{5b}$

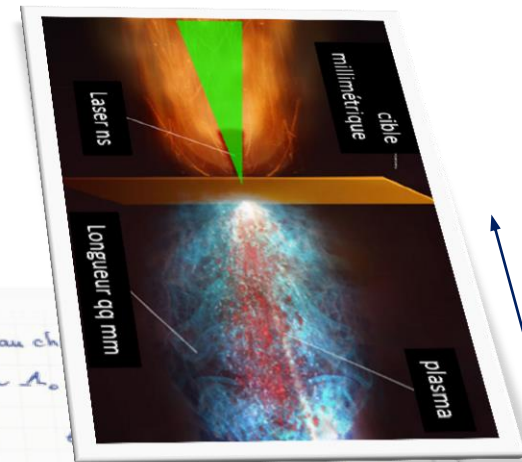
$n/\bar{n} = a^{3785/80}$

$\rho/\bar{\rho} = a^{775/40}$

$T/\bar{T} = a^{3785/40}$

le problème le champ  $B$ ! (pas besoin dans 1<sup>er</sup> cas).  
 $B \sim \sqrt{P}$  contraction  $\rho \uparrow$   
 $\sim \rho^{77/80} \Rightarrow B \uparrow$

Juillet 2007



$h_s \sim 2 \text{ mm}$





Utiliser les lasers de puissance comme  
des microscopes pour l'astrophysique



# Les lois d'échelle des colonnes d'accrétion

Propriétés de similarité de la région de hautes énergies

[Falize et al. ApJ, 730, 96 (2011)], [Busschaert et al. NJP 15, 035020 (2013)]

$$\rho_A / \rho_L = a \quad L_A / L_L = b / a^2 \quad v_A / v_L = \sqrt{b/a}$$

$$P_A / P_L = b \quad t_A / t_L = \sqrt{b/a^3} \quad T_A / T_L = b/a$$

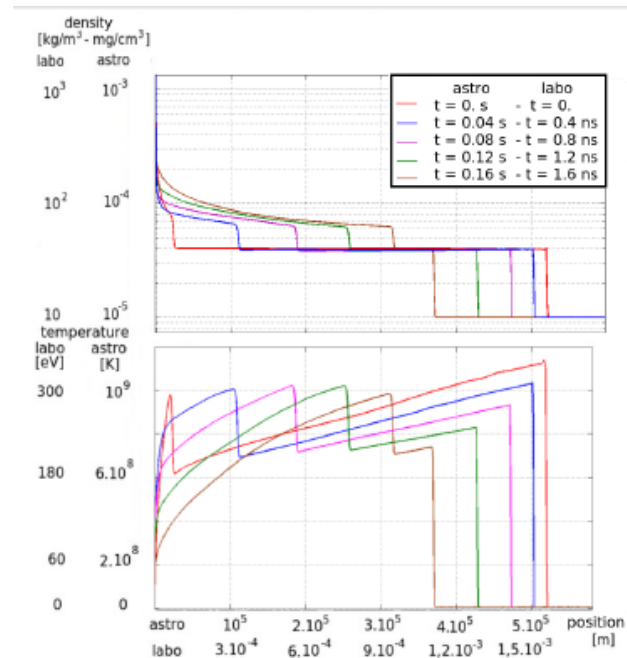
## Application des lois d'échelle

	L (cm)	t(s)	V(cm/s)	$\rho$ (g/cc)	T (eV)	B (MG)
Polar	$10^7$	1	$3 \times 10^8$	$10^{-8}$	$10^4$	10
Labo	0.1	$10^{-8}$	$3 \times 10^7$	$10^{-2}$	120	625

## Refroidissement dans la zone post-choc

$$h_s \approx v_s \times t_{cool} / 4 \rightarrow h_s \approx 800 \mu\text{m}$$

$v_s \approx 300 \text{ km} \cdot \text{s}^{-1}$   
 $t_{cool} \approx 10 \text{ ns}$



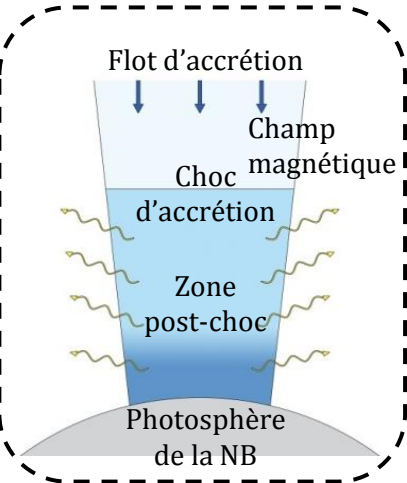
Des lois d'échelle adaptées peuvent être utilisées afin de définir des colonnes d'accrétion à des échelles diagnosticables en laboratoire



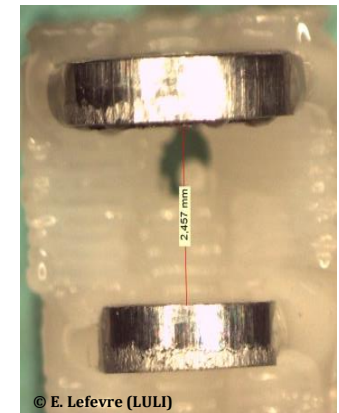
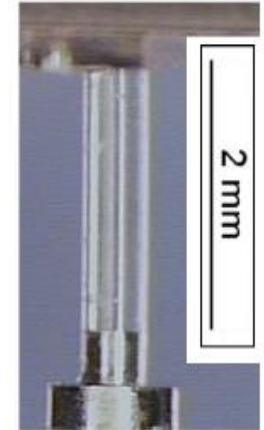
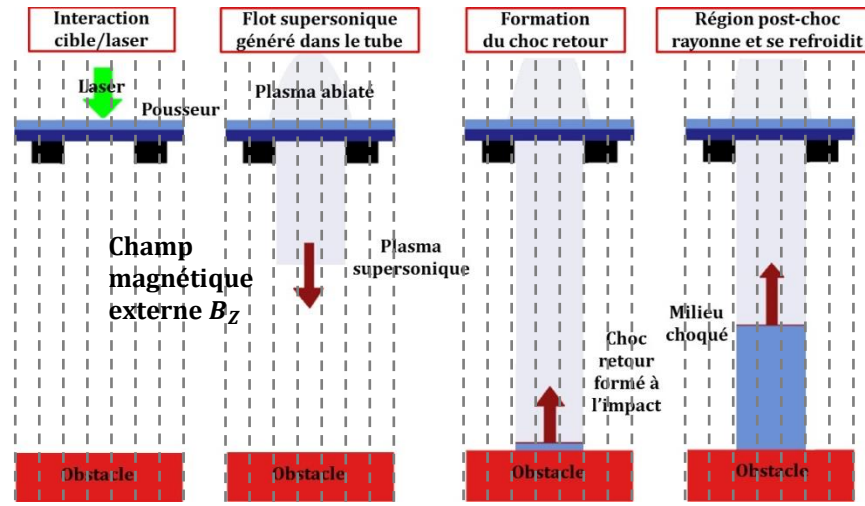
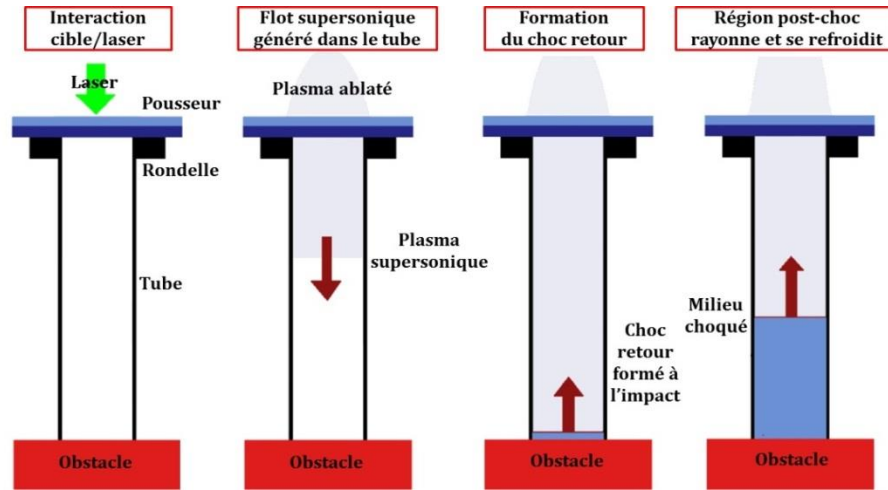


# Les variables cataclysmiques magnétiques

## Cible avec tube :



## Cible avec champ magnétique :

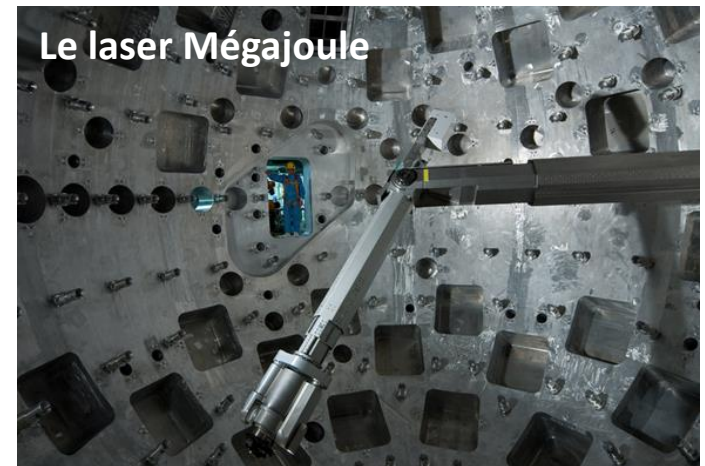
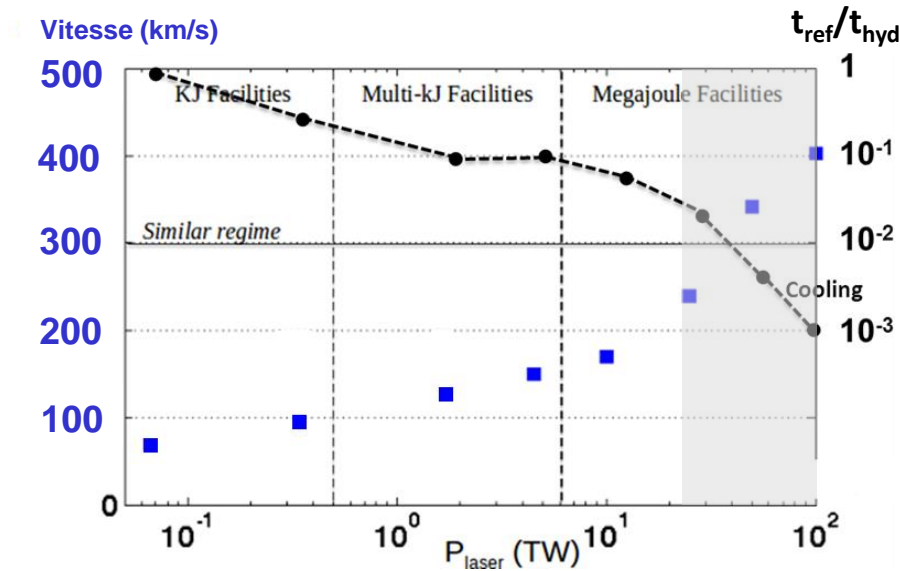
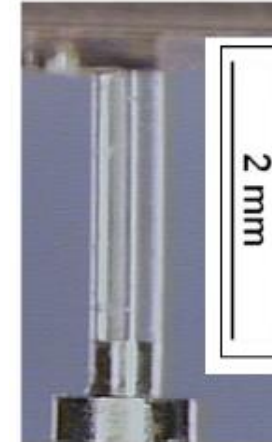
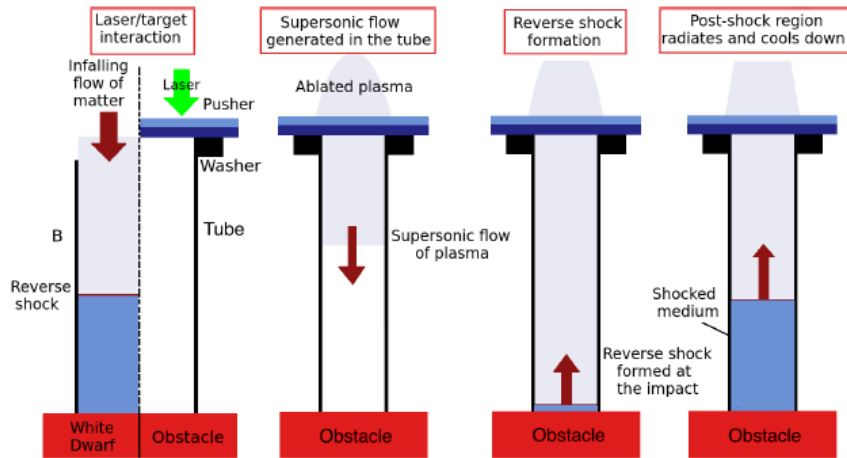


© E. Lefevre (LULI)

[Albertazzi et al., HPLSE (2018)]

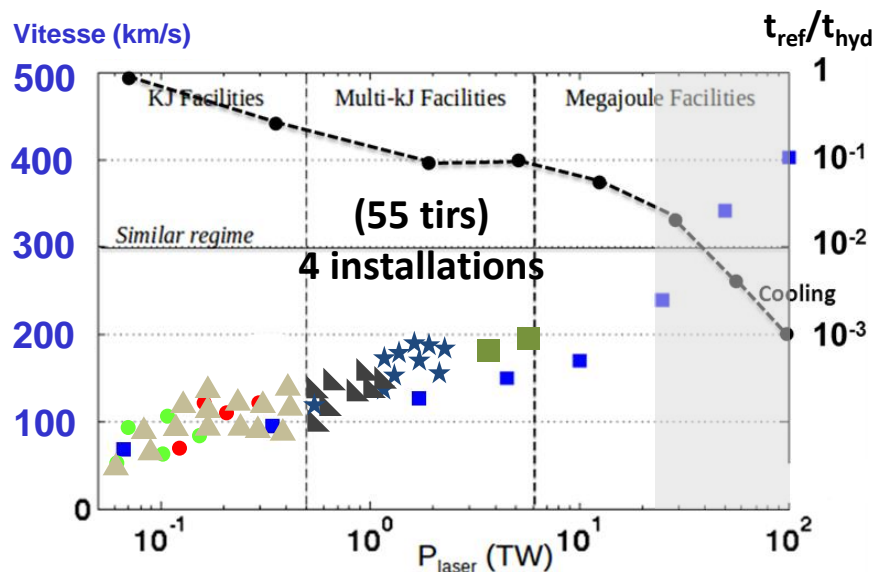
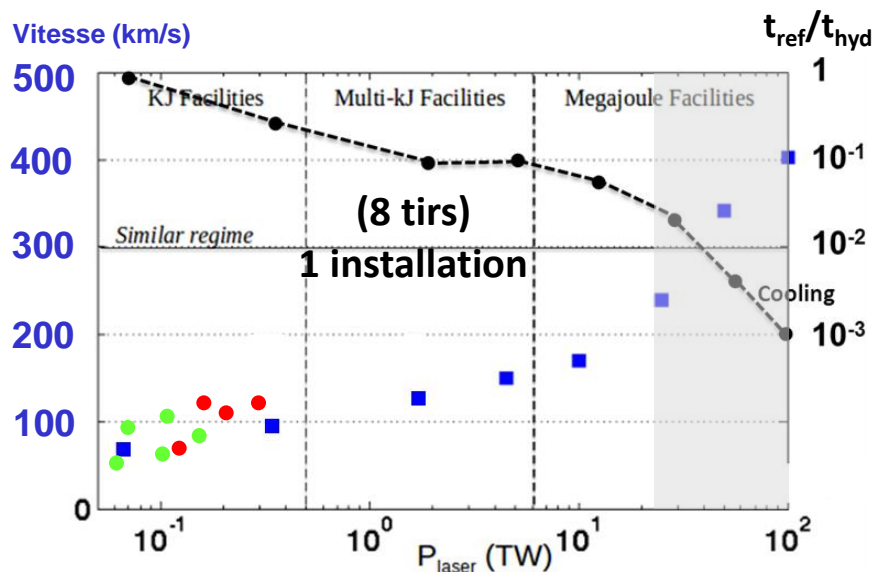


# les lasers de puissance : microscopes de l'astrophysique



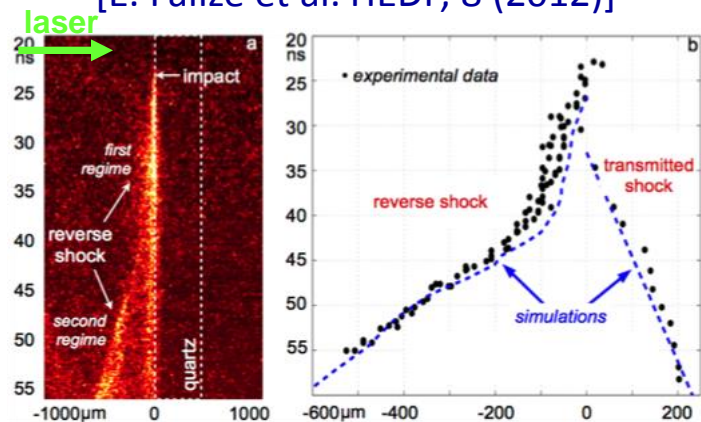


# les lasers de puissance : microscopes de l'astrophysique



## Expérience LULI2000

[E. Falize et al. HEDP, 8 (2012)]



É. Falize

28<sup>ème</sup> Festival de Fleurance – aout 2018

# les lasers de puissance : microscopes de l'astrophysique



ARTICLE

Received 7 Oct 2015 | Accepted 10 May 2016 | Published 13 Jun 2016

DOI: 10.1038/ncomms11899

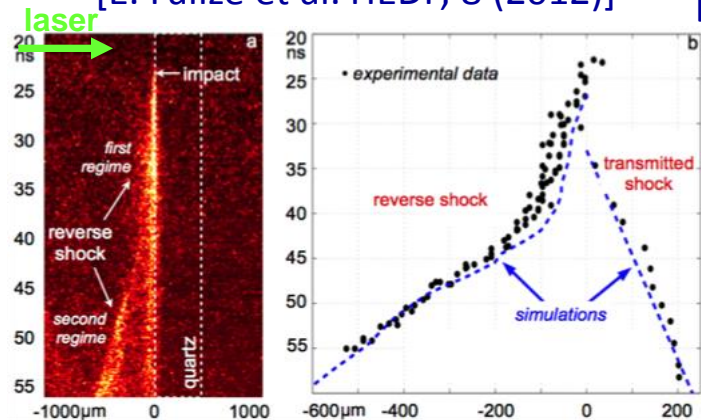
OPEN

## Laboratory analogue of a supersonic accretion column in a binary star system

J.E. Cross<sup>1</sup>, G. Gregori<sup>1</sup>, J.M. Foster<sup>1,2</sup>, P. Graham<sup>2</sup>, J.-M. Bonnet-Bidaud<sup>3</sup>, C. Busschaert<sup>4</sup>, N. Charpentier<sup>4</sup>, C.N. Danson<sup>1,2</sup>, H.W. Doyle<sup>1,5</sup>, R.P. Drake<sup>6</sup>, J. Fyrth<sup>2</sup>, E.T. Gumbrell<sup>2</sup>, M. Koenig<sup>7,8</sup>, C. Krauland<sup>6</sup>, C.C. Kuranz<sup>6</sup>, B. Loupias<sup>4</sup>, C. Michaut<sup>9</sup>, M. Mouchet<sup>9</sup>, S. Patankar<sup>2</sup>, J. Skidmore<sup>2</sup>, C. Spindloe<sup>10</sup>, E.R. Tubman<sup>11</sup>, N. Woolsey<sup>11</sup>, R. Yurchak<sup>7</sup> & É. Falize<sup>3,4</sup>

### Expérience LULI2000

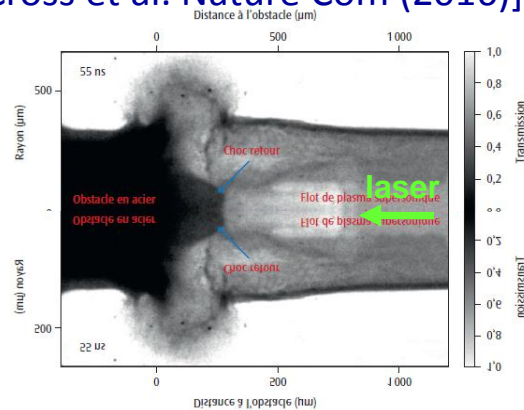
[E. Falize et al. HEDP, 8 (2012)]



É. Falize

### Expérience ORION

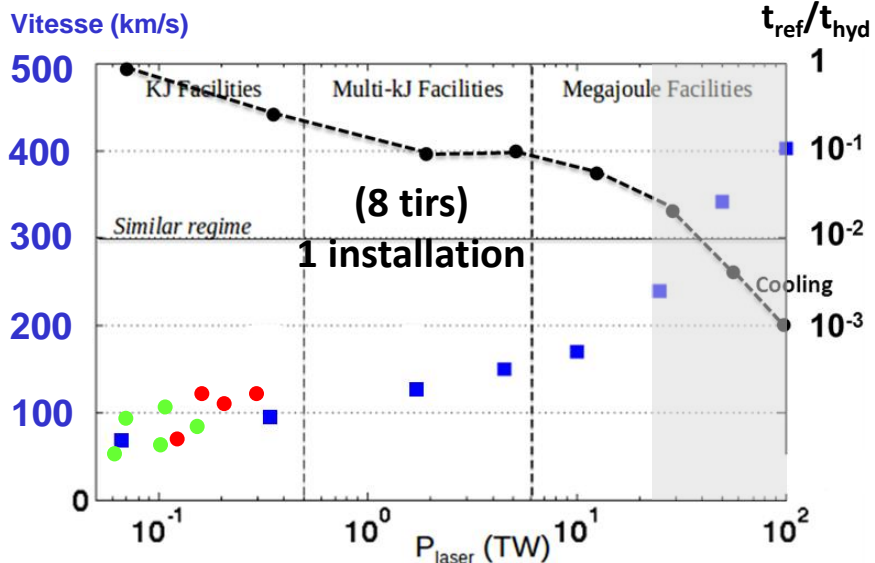
[J. Cross et al. Nature Com (2016)]



28<sup>ème</sup> Festival de Fleurance – aout 2018

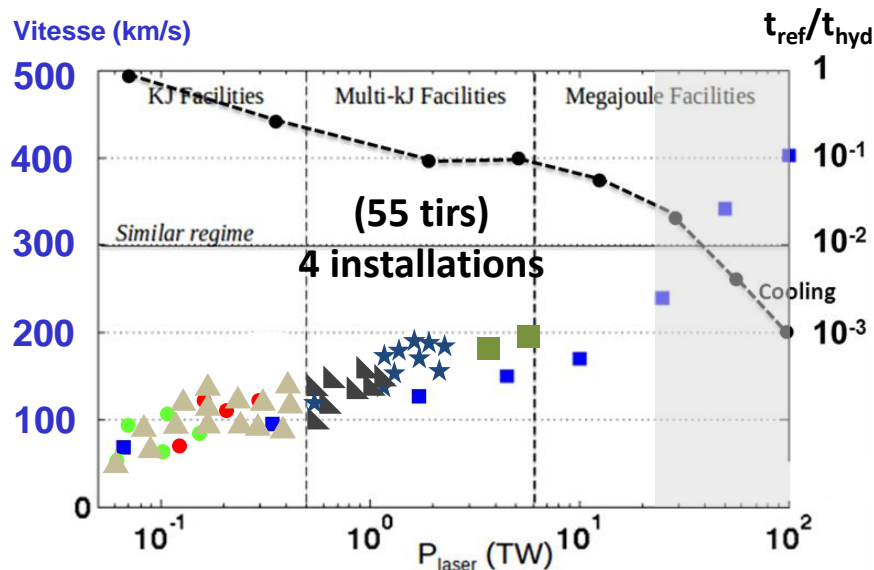


# les lasers de puissance : microscopes de l'astrophysique



Expérience LULI2000

[E. Falize et al. HEDP, 8 (2012)]

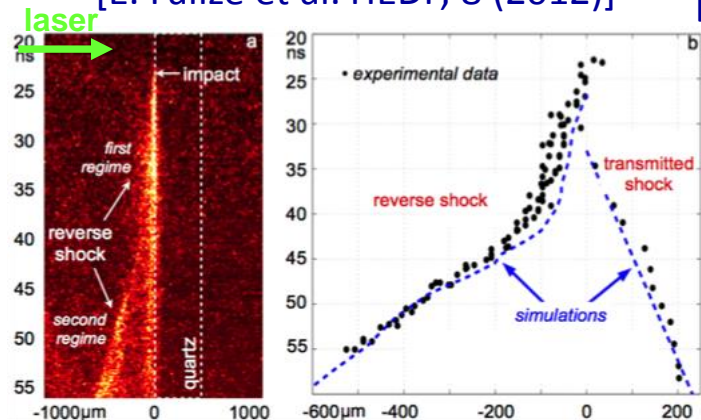


Expérience ORION

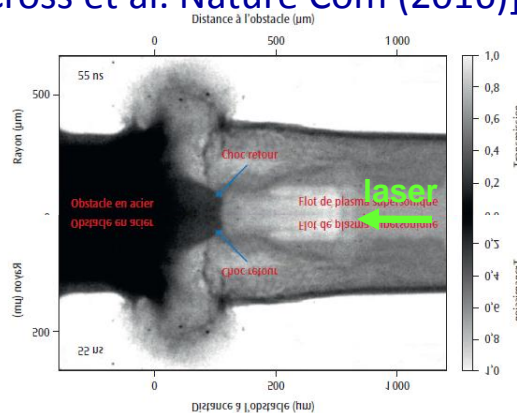
[J. Cross et al. Nature Com (2016)]

Expérience OMEGA

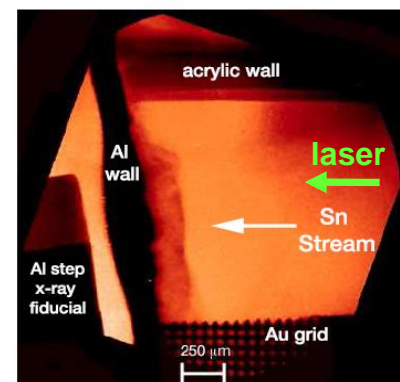
[C. Krauland et al. ApJ, 762 (2013)]



É. Falize



28<sup>ème</sup> Festival de Fleurance – aout 2018



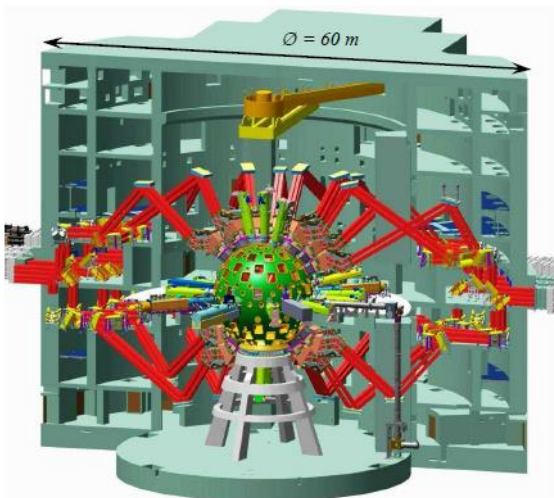


# les lasers de puissance : microscopes de l'astrophysique

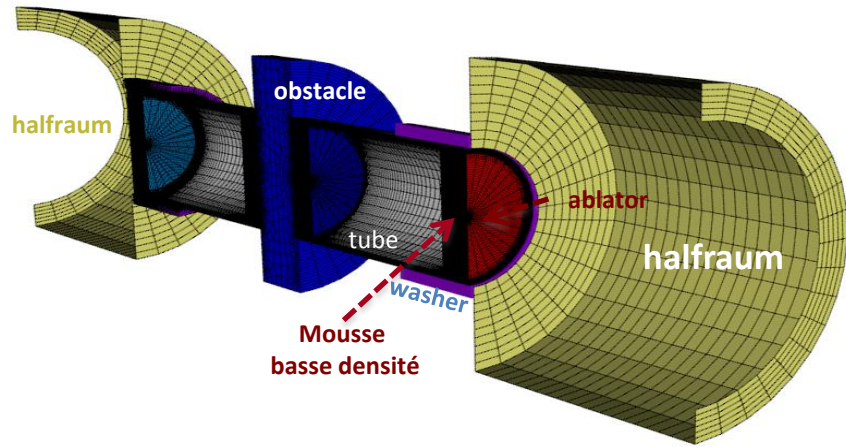
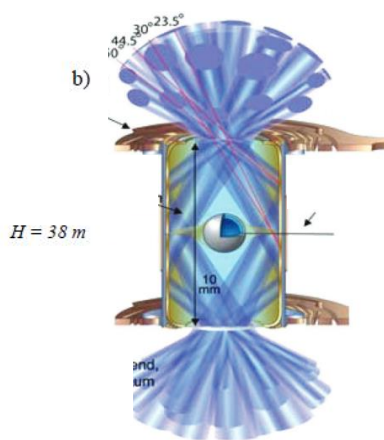
Configuration des faisceaux laser sur une installation Mégajoule

Cible POLAR pour une installation Mégajoule

Le LMJ

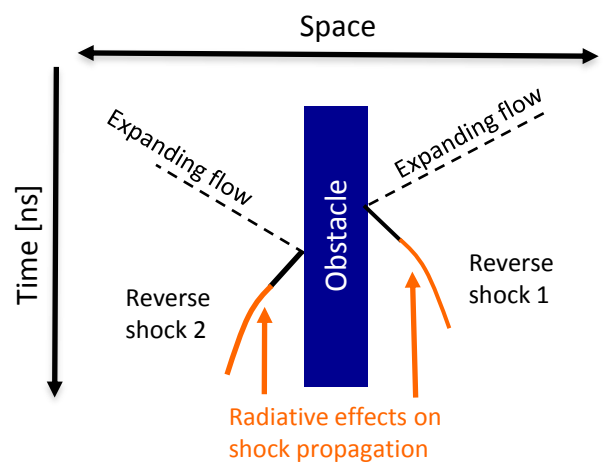


Cible FCI



[\[http://www-lmj.cea.fr/fr/ForUsers.htm\]](http://www-lmj.cea.fr/fr/ForUsers.htm)

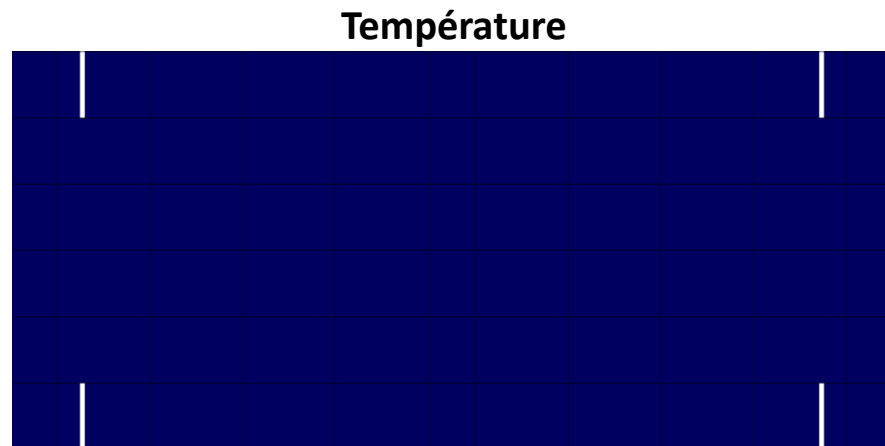
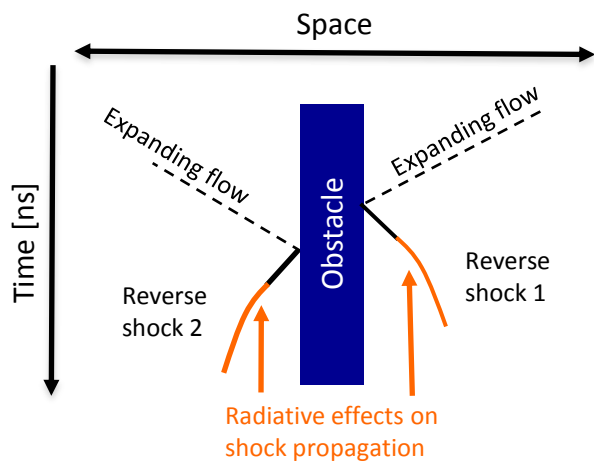
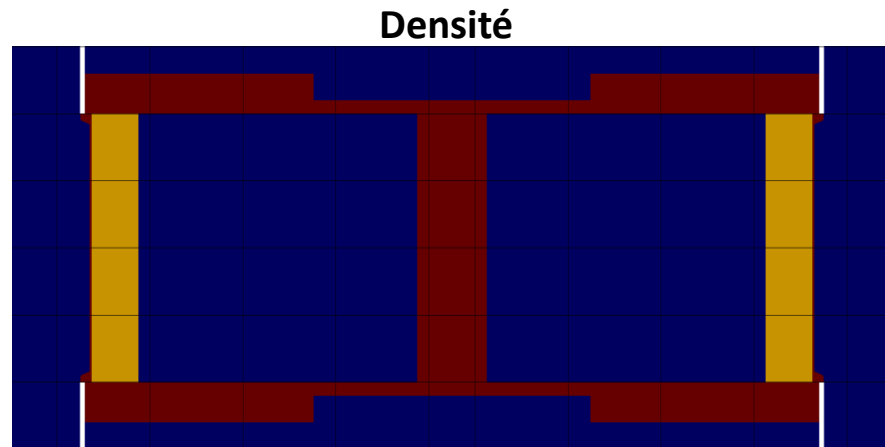
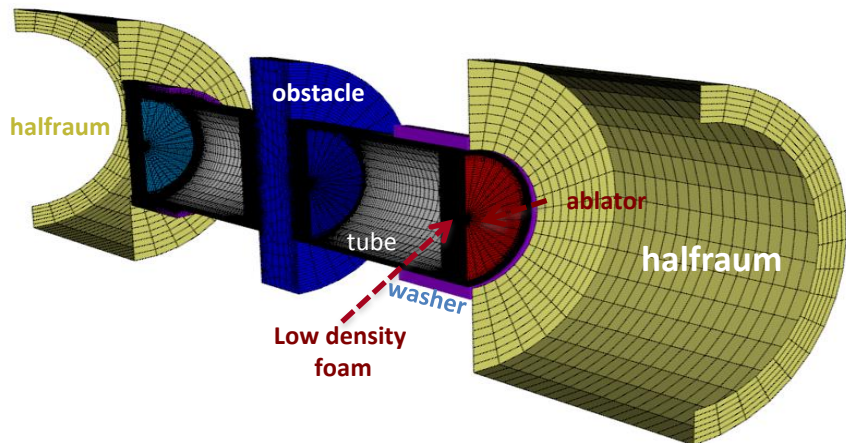
	L (cm)	t(s)	V(cm/s)	$\rho$ (g/cc)	T (eV)
Polar	$10^7$	1	$3 \times 10^8$	$10^{-8}$	$10^4$
Labo	0.1	$10^{-8}$	$3 \times 10^7$	$10^{-2}$	120



# les lasers de puissance : microscopes de l'astrophysique

Cible POLAR pour une installation Mégajoule

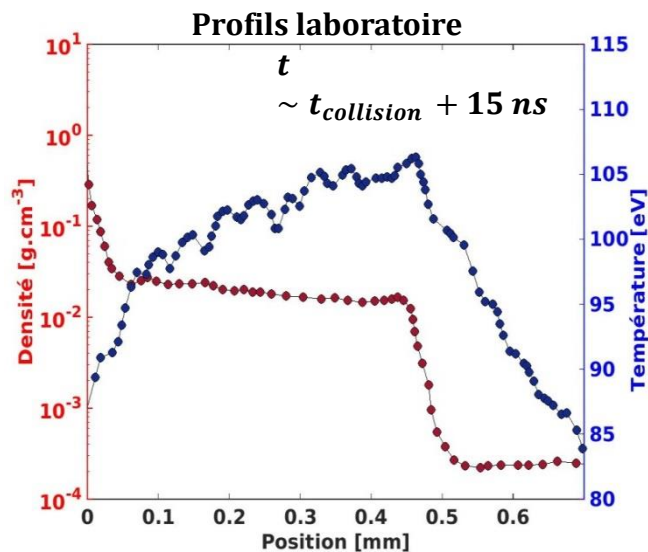
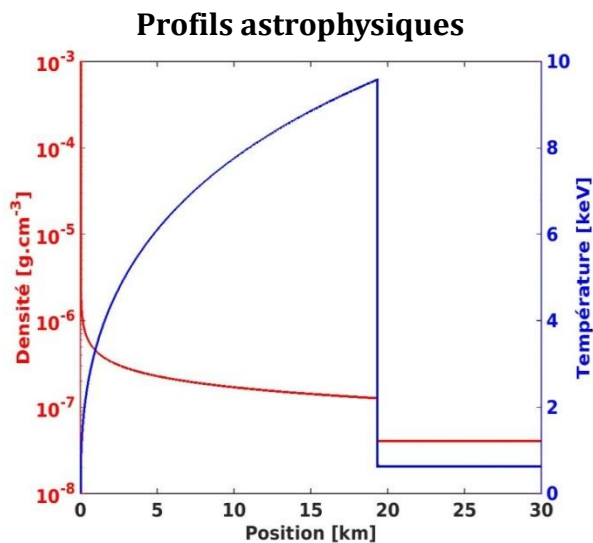
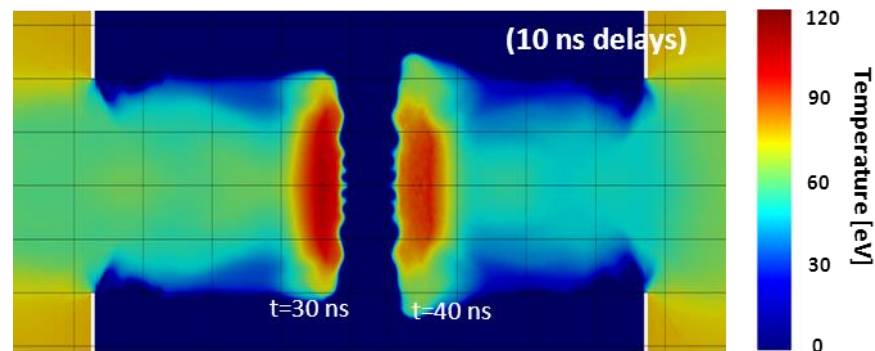
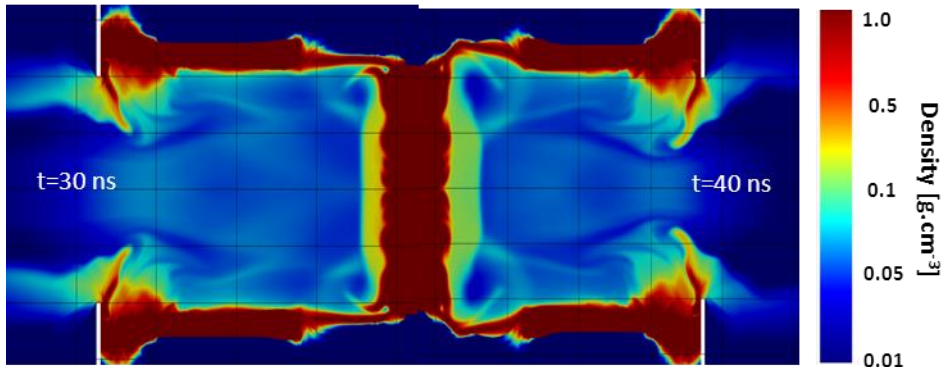
Simulations 2D hydro-rad avec le code FCI2





# les lasers de puissance : microscopes de l'astrophysique

Zone radiative  $0.01 \text{ g.cm}^{-3}$  - 120 eV



Lucile Van Box Som (thèse 2018)

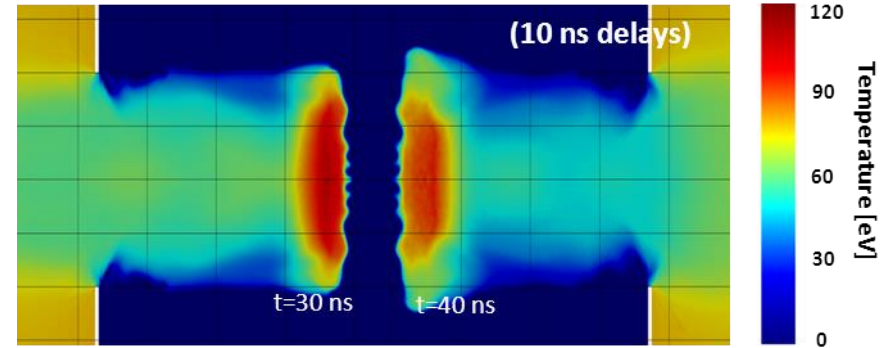
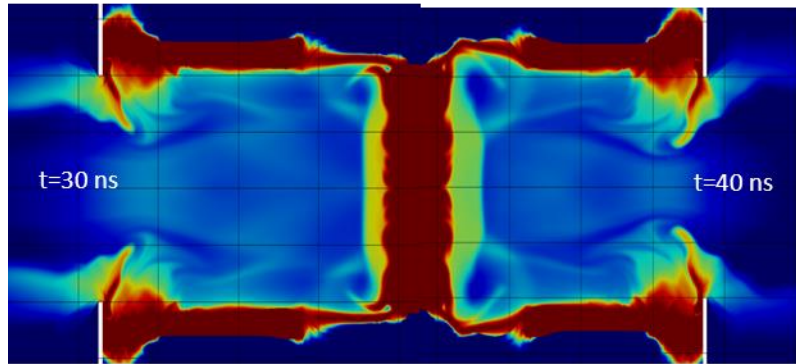
É. Falize

28<sup>ème</sup> Festival de Fleurance – aout 2018

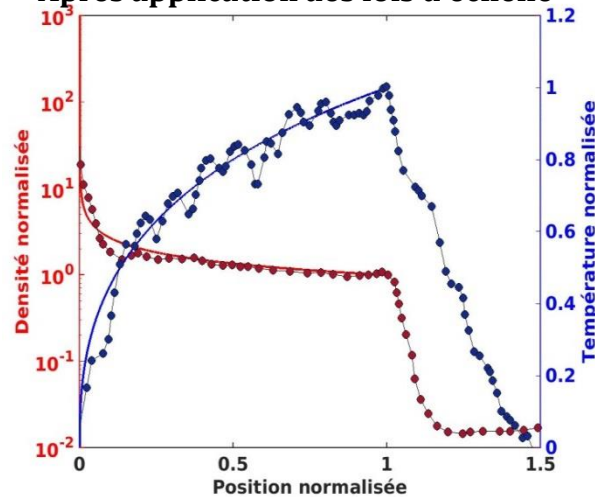


# les lasers de puissance : microscopes de l'astrophysique

Zone radiative  $0.01 \text{ g.cm}^{-3}$  - 120 eV



Après application des lois d'échelle



Lucile Van Box Som (thèse 2018)

É. Falize

28<sup>ème</sup> Festival de Fleurance – aout 2018

*Je possède d'autant mieux le monde  
que je suis plus habile à le miniaturiser*

**G. Bachelard**  
*la poétique de l'espace*



Festival  
d'**astronomie**  
de **Fleurance**

Ferme des étoiles

FROM RESEARCH TO INDUSTRY

cea